

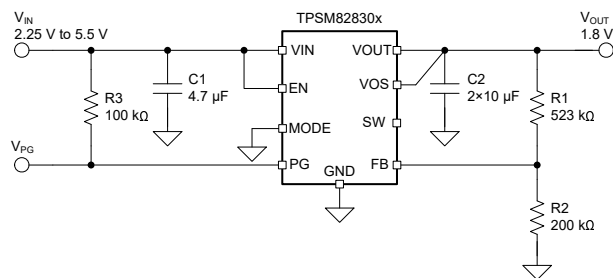
# TPSM82830x 具有集成电感器、采用 QFN 和 MagPack™ 封装的低 EMI、2.25V 至 5.5V 输入、1A/2A/3A 降压电源模块

## 1 特性

- 优化的 EMI 性能
- 有助于符合 CISPR 11/32 标准
  - 集成片上噪声滤波电容器
  - 可根据 CISPR 进行测量
- 0.5V 至 4.5V 可调节输出电压
- 1% FB 电压精度 ( $T_J$  为  $-40^{\circ}\text{C}$  至  $125^{\circ}\text{C}$ )
- $55\text{m}\Omega$  压降电阻
- 2.25V 至 5.5V 输入电压范围
- 2.0MHz 开关频率
- $7\mu\text{A}$  工作静态电流
- DCS-Control 拓扑
- 出色的瞬态响应
- MODE 引脚用于选择强制 PWM 模式和节能模式
- 支持 1.2V GPIO
- 100% 占空比，可实现超低压降
- 有源输出放电
- 电源正常状态输出
- 热关断保护
- 断续或闭锁 OCP/OVP
- 可提供 PSpice 和 SIMPLIS 模型
- 两个封装选项，间距为 0.5mm
  - 标准 QFN
  - 屏蔽 MagPack
- 使用 TPSM828303 并借助 [WEBENCH® Power Designer](#) 创建定制设计方案

## 2 应用

- [工业 PC](#)
- LPDDR5 0.5V VDDQ 电源
- ASIC、SoC 和 MCU 电源
- [工厂自动化和控制](#)
- [医用患者监护仪](#)
- 通用负载点



典型应用原理图

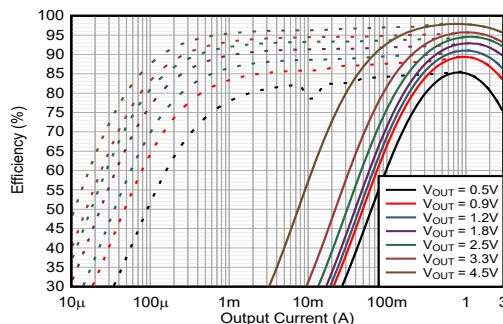
## 3 说明

TPSM82830x 是易于使用的同步直流/直流降压模块系列，具有集成电感器，并采用 EMI 降低技术。该系列器件基于 DCS-Control 拓扑，具有快速瞬态响应和较小的输出电容。输出电压可设置为低至 0.5V，并在整个工作结温范围内具有 1% 的高反馈电压精度。模式引脚用于在节能模式和强制 PWM 模式之间进行选择。节能模式使用低输出电流，从而延长了电池寿命；而强制 PWM 模式保持电感器持续导通，从而在恒定开关频率下减少纹波。内部软启动电路会以严格受控的方式使电压斜升，电源正常信号表示输出电压正确。该器件支持 100% 模式。断续短路保护搭配热关断，可保护器件和应用。该系列采用  $3.0\text{mm} \times 3.0\text{mm} \times 1.95\text{mm}$  QFN 封装和  $2.5\text{mm} \times 2.6\text{mm} \times 1.95\text{mm}$  MagPack 封装。

### 器件信息

| 器件型号 <sup>(3)</sup> | 输出电流 | 封装 <sup>(1)</sup>            | 封装尺寸 <sup>(2)</sup>                |
|---------------------|------|------------------------------|------------------------------------|
| TPSM828301          | 1A   | RDS (QFN, 9)                 | $3.0\text{mm} \times 3.0\text{mm}$ |
| TPSM828302          | 2A   |                              |                                    |
| TPSM828303          | 3A   | VCB (QFN, 10) <sup>(4)</sup> | $2.5\text{mm} \times 2.6\text{mm}$ |
| TPSM828303          | 3A   |                              |                                    |

- (1) 有关更多信息，请参阅节 11。
- (2) 封装尺寸 (长 × 宽) 为标称值，并包括引脚 (如适用)。
- (3) 请参阅 [器件选项表](#)。
- (4) 预告信息 (非“量产数据”)。



$V_{IN} = 5\text{V}$  时的效率，VCB 封装



## 内容

|                        |           |                             |           |
|------------------------|-----------|-----------------------------|-----------|
| <b>1 特性</b> .....      | <b>1</b>  | 7.3 特性说明.....               | <b>10</b> |
| <b>2 应用</b> .....      | <b>1</b>  | 7.4 器件功能模式.....             | <b>13</b> |
| <b>3 说明</b> .....      | <b>1</b>  | <b>8 应用和实施</b> .....        | <b>16</b> |
| <b>4 器件选项</b> .....    | <b>3</b>  | 8.1 应用信息.....               | <b>16</b> |
| <b>5 引脚配置和功能</b> ..... | <b>3</b>  | 8.2 典型应用.....               | <b>16</b> |
| <b>6 规格</b> .....      | <b>5</b>  | 8.3 电源相关建议.....             | <b>26</b> |
| 6.1 绝对最大额定值.....       | <b>5</b>  | 8.4 布局.....                 | <b>26</b> |
| 6.2 ESD 等级.....        | <b>5</b>  | <b>9 器件和文档支持</b> .....      | <b>28</b> |
| 6.3 建议运行条件.....        | <b>5</b>  | 9.1 器件支持.....               | <b>28</b> |
| 6.4 热性能信息 RDS 封装.....  | <b>5</b>  | 9.2 文档支持.....               | <b>28</b> |
| 6.5 热性能信息 VCB 封装.....  | <b>6</b>  | 9.3 支持资源.....               | <b>28</b> |
| 6.6 电气特性.....          | <b>6</b>  | 9.4 商标.....                 | <b>28</b> |
| 6.7 典型特性.....          | <b>8</b>  | 9.5 静电放电警告.....             | <b>28</b> |
| <b>7 详细说明</b> .....    | <b>9</b>  | 9.6 术语表.....                | <b>28</b> |
| 7.1 概述.....            | <b>9</b>  | <b>10 修订历史记录</b> .....      | <b>29</b> |
| 7.2 功能方框图.....         | <b>10</b> | <b>11 机械、封装和可订购信息</b> ..... | <b>29</b> |

## 4 器件选项

| 器件型号                           | 输出电流 | OCP 模式            | 封装      | 输出电压               |
|--------------------------------|------|-------------------|---------|--------------------|
| TPSM828301ARDSR                | 1A   | 断续 <sup>(2)</sup> | QFN RDS | 可调节 <sup>(1)</sup> |
| TPSM828302ARDSR                | 2A   | 断续 <sup>(2)</sup> | QFN RDS |                    |
| TPSM828303ARDSR                | 3A   | 断续 <sup>(2)</sup> | QFN RDS |                    |
| TPSM828303PVCBR <sup>(3)</sup> | 3A   | 断续 <sup>(2)</sup> | QFN VCB |                    |

- (1) 对于固定输出电压版本，请联系营销部门以了解供货情况。  
 (2) 对于具有 OCP/OVP 闭锁的版本，请联系营销部门以了解供货情况。  
 (3) 预告信息（非“量产数据”）。

## 5 引脚配置和功能

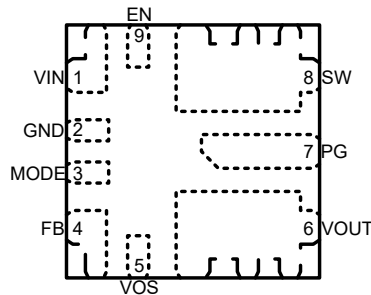


图 5-1. RDS 封装，9 引脚 QFN-FCMOD 顶视图

表 5-1. 引脚功能：RDS 封装

| 引脚   |    | 类型  | 说明  |
|------|----|-----|---|
| 名称   | 编号 |     |   |
| VIN  | 1  | PWR | 输入电压引脚。在引脚 V <sub>IN</sub> 和 GND 之间（尽可能接近它们）连接输入电容器。                                  |
| GND  | 2  | PWR | 接地引脚  |
| MODE | 3  | I   | 当此引脚拉至低电平时，器件在 PSM/PWM 模式下运行，而当拉至高电平时，器件在强制 PWM 模式下运行。也可在器件运行时执行此操作。不要将这个引脚悬空。        |
| FB   | 4  | I   | 反馈引脚。将电阻式输出分压器连接到此引脚。   |
| VOS  | 5  | I   | 输出电压检测引脚。将此引脚直接连接在电感器后面。  |
| VOUT | 6  | PWR | 输出电压引脚  |
| PG   | 7  | O   | 电源正常开漏输出引脚。上拉电阻器可以连接到高达 5.5V 的电压。如果未使用，则将此引脚悬空。                                       |
| SW   | 8  | PWR | 转换器的开关引脚连接到内部功率 MOSFET 和电感器。避免将此引脚连接到较大的布线，因为这样会增加 EMI。此引脚可以保持未连接状态，或焊接到一个小焊盘上以改善热性能。 |
| EN   | 9  | I   | 器件使能引脚。要启用器件，请将此引脚拉至高电平。将这个引脚拉至低电平会禁用器件。不要将这个引脚保持未连接。                                 |

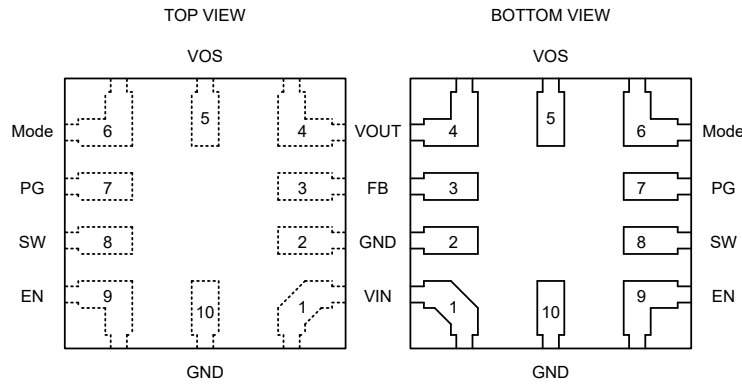


图 5-2. VCB 封装，10 引脚 QFN-FCMOD

表 5-2. 引脚功能：VCB 封装

| 引脚   |       | 类型  | 说明   |
|------|-------|-----|--|
| 名称   | 编号    |     |  |
| VIN  | 1     | PWR | 输入电压引脚。在引脚 $V_{IN}$ 和 GND 之间 ( 尽可能接近它们 ) 连接输入电容器。  |
| GND  | 2, 10 | PWR | 接地引脚   |
| FB   | 3     | I   | 反馈引脚。将电阻式输出分压器连接到此引脚。  |
| VOUT | 4     | PWR | 输出电压引脚   |
| VOS  | 5     | I   | 输出电压检测引脚。将此引脚直接连接在电感器后面。   |
| MODE | 6     | I   | 当此引脚拉至低电平时，器件在 PSM/PWM 模式下运行，而当拉至高电平时，器件在强制 PWM 模式下运行。也可在器件运行时执行此操作。不要将这个引脚悬空。           |
| PG   | 7     | O   | 电源正常开漏输出引脚。上拉电阻器可以连接到高达 5.5V 的电压。如果未使用，则将此引脚悬空。  |
| SW   | 8     | PWR | 转换器的开关引脚连接到内部功率 MOSFET 和电感器。避免将此引脚连接到较大的布线，因为此操作会增加 EMI。该引脚可以保持未连接状态，也可以焊接到一个小焊盘上以改善热性能。 |
| EN   | 9     | I   | 器件使能引脚。要启用器件，请将此引脚拉至高电平。将这个引脚拉至低电平会禁用器件。不要将这个引脚保持未连接。                                    |

## 6 规格

### 6.1 绝对最大额定值

在工作结温范围内测得 (除非另有说明) <sup>(1)</sup>

|                   |   | 最小值  | 最大值 | 单位 |
|-------------------|---|------|-----|----|
| 电压 <sup>(2)</sup> | V <sub>IN</sub> 、EN、MODE、FB、PG、V <sub>OUT</sub> | -0.3 | 6   | V  |
| T <sub>J</sub>    | 工作结温  | -40  | 125 | °C |
| T <sub>stg</sub>  | 贮存温度  | -55  | 125 | °C |

- (1) 超出绝对最大额定值运行可能会对器件造成永久损坏。绝对最大额定值并不表示器件在这些条件下或在建议运行条件以外的任何其他条件下能够正常运行。如果超出“建议运行条件”但在“绝对最大额定值”范围内使用，器件可能不会完全正常运行，这可能影响器件的可靠性、功能和性能并缩短器件寿命。
- (2) 所有电压值都相对于网络接地端而言。

### 6.2 ESD 等级

|                    |      |   | 值     | 单位 |
|--------------------|------|---|-------|----|
| V <sub>(ESD)</sub> | 静电放电 | 人体放电模型 (HBM), 符合 ANSI/ESDA/JEDEC JS-001 标准 <sup>(1)</sup> | ±2000 | V  |
|                    |      | 充电器件模型 (CDM), 符合 ANSI/ESDA/JEDEC JS-002 标准 <sup>(2)</sup> | ±500  |    |

- (1) JEDEC 文档 JEP155 指出: 500V HBM 时能够在标准 ESD 控制流程下安全生产。
- (2) JEDEC 文档 JEP157 指出: 250V CDM 时能够在标准 ESD 控制流程下安全生产。

### 6.3 建议运行条件

在工作结温范围内测得 (除非另有说明)

|                  |                                   | 最小值  | 标称值 | 最大值 | 单位 |
|------------------|-----------------------------------|------|-----|-----|----|
| V <sub>IN</sub>  | 输入电压范围                            | 2.25 |     | 5.5 | V  |
| V <sub>OUT</sub> | 输出电压范围                            | 0.5  |     | 4.5 | V  |
| C <sub>IN</sub>  | 有效输入电容 <sup>(1)</sup>             | 3    |     |     | μF |
| C <sub>OUT</sub> | 有效输出电容 <sup>(1)</sup>             | 12   |     | 200 | μF |
| I <sub>OUT</sub> | 输出电流范围; TPSM828301                |      |     | 1   | A  |
| I <sub>OUT</sub> | 输出电流范围; TPSM828302                |      |     | 2   | A  |
| I <sub>OUT</sub> | 输出电流范围; TPSM828303 <sup>(2)</sup> |      |     | 3   | A  |
| I <sub>PG</sub>  | 电源正常输入电流能力                        |      |     | 1   | mA |
| T <sub>J</sub>   | 工作结温 <sup>(2)</sup>               | -40  |     | 125 | °C |

- (1) 表中为所有电容器给出的值均为有效电容, 其中包括直流偏置效应。由于陶瓷电容器的直流偏置效应, 施加电压时有效电容低于标称值。请检查制造商的直流偏置曲线, 以了解有效电容与所施加直流电压之间的关系。
- (2) 在存在高功率耗散和高环境温度的应用中, 为了使模块在其工作温度范围内运行, 必须对最大输出电流进行降额。

### 6.4 热性能信息 RDS 封装

| 热指标 <sup>(1)</sup>    |              | TPSM82830xARDSR |                    | 单位   |
|-----------------------|--------------|-----------------|--------------------|------|
|                       |              | RDS             |                    |      |
|                       |              | 9 引脚 (JEDEC 板)  | 9 引脚 (EVM 板)       |      |
| R <sub>θJA</sub>      | 结至环境热阻       | 59.4            | 49.8               | °C/W |
| R <sub>θJC(top)</sub> | 结至外壳 (顶部) 热阻 | 66.5            | 不可用 <sup>(2)</sup> | °C/W |
| R <sub>θJB</sub>      | 结至电路板热阻      | 16.8            | 不可用 <sup>(2)</sup> | °C/W |
| ψ <sub>JT</sub>       | 结至顶部特征参数     | 0.3             | 0.5                | °C/W |
| ψ <sub>JB</sub>       | 结至电路板特征参数    | 16.7            | 23.2               | °C/W |

- (1) 更多有关新旧热指标的信息, 请参阅 [半导体](#) 和 [IC 封装热指标](#) 报告。
- (2) 不适用于 EVM。

## 6.5 热性能信息 VCB 封装

| 热指标 <sup>(1)</sup>   |              | TPSM828303PVCBR       |                       | 单位   |
|----------------------|--------------|-----------------------|-----------------------|------|
|                      |              | VCB                   |                       |      |
|                      |              | 10 引脚 (JEDEC 板)       | 10 引脚 (EVM 板)         |      |
| $R_{\theta JA}$      | 结至环境热阻       | 83.1                  | 66.5                  | °C/W |
| $R_{\theta JC(top)}$ | 结至外壳 (顶部) 热阻 | 37.1                  | 不可用 <sup>(2)</sup>    | °C/W |
| $R_{\theta JB}$      | 结至电路板热阻      | 27.4                  | 不可用 <sup>(2)</sup>    | °C/W |
| $\psi_{JT}$          | 结至顶部特征参数     | (-1.7) <sup>(3)</sup> | (-1.6) <sup>(3)</sup> | °C/W |
| $\psi_{JB}$          | 结至电路板特征参数    | 27.2                  | 35.3                  | °C/W |

(1) 更多有关新旧热指标的信息，请参阅[半导体和 IC 封装热指标](#)报告。

(2) 不适用于 EVM。

(3) 由于存在电感器功率耗散，外壳顶部温度会高于有源电路的温度。这会导致出现负的结至顶部特性参数。

## 6.6 电气特性

$T_J = -40^{\circ}\text{C}$  至  $+125^{\circ}\text{C}$ ， $V_{IN} = 2.25\text{V}$  至  $5.5\text{V}$ 。典型值是在  $T_J = 25^{\circ}\text{C}$  且  $V_{IN} = 5\text{V}$  条件下测得 (除非另有说明)

| 参数              |                          | 测试条件  | 最小值   | 典型值  | 最大值  | 单位            |
|-----------------|--------------------------|---|-------|------|------|---------------|
| <b>电源</b>       |                          |   |       |      |      |               |
| $I_Q$           | 工作静态电流                   | $EN = V_{IN}$ , $I_{OUT} = 0\text{mA}$ , $V_{OUT} = 1.8\text{V}$ ,<br>$MODE = \text{GND}$ , 器件未开关 |       | 7    | 17   | $\mu\text{A}$ |
| $I_{SD}$        | $V_{IN}$ 关断电源电流          | $EN = \text{低电平}$ , $T_J = -40^{\circ}\text{C}$ 至 $85^{\circ}\text{C}$                            |       | 100  | 700  | nA            |
| $V_{UVLO(+)}$   | UVLO 上升阈值电压 ( $V_{IN}$ ) |   | 2.05  | 2.15 | 2.25 | V             |
| $V_{UVLO(hys)}$ | UVLO 迟滞 ( $V_{IN}$ )     |   | 90    | 120  |      | mV            |
| <b>热关断</b>      |                          |   |       |      |      |               |
| $T_{J(SD)}$     | 热关断阈值                    | $T_J$ 上升  |       | 150  |      | °C            |
| $T_{J(HYS)}$    | 热关断迟滞                    |   |       | 20   |      | °C            |
| <b>逻辑引脚</b>     |                          |   |       |      |      |               |
| $V_{EN(+)}$     | 高电平输入电压 (EN)             |   | 0.8   |      |      | V             |
| $V_{EN(-)}$     | 低电平输入电压 (EN)             |   |       |      | 0.35 | V             |
| $V_{MODE(+)}$   | 高电平输入电压 (MODE)           |   | 0.8   |      |      | V             |
| $V_{MODE(-)}$   | 低电平输入电压 (MODE)           |   |       |      | 0.35 | V             |
| $I_{EN(LKG)}$   | EN 输入漏电流                 | $V_{EN} = \text{高电平}$   |       | 10   | 100  | nA            |
| $I_{MODE(LKG)}$ | MODE 输入漏电流               | $V_{MODE} = \text{高电平}$   |       | 10   | 100  | nA            |
| <b>启动</b>       |                          |   |       |      |      |               |
| $t_{SS}$        | 内部固定软启动时间                | 从 $V_{OUT} = 0$ 至 $V_{OUT} = 95\%$  | 180   | 300  | 440  | $\mu\text{s}$ |
| $t_d(EN)$       | 启用延迟时间                   | 从 EN 高电平至器件开始开关   |       | 120  | 220  | $\mu\text{s}$ |
| <b>基准电压</b>     |                          |   |       |      |      |               |
| $V_{FB}$        | 反馈电压精度                   | PWM 模式  | 495   | 500  | 505  | mV            |
| $V_{FB}$        | 反馈电压精度                   | PWM 模式  | -1    |      | +1   | %             |
| $V_{FB}$        | 反馈电压精度                   | PFM 模式, $C_{OUT,eff} \geq 15\mu\text{F}$ , $L = 0.47\mu\text{H}$                                  | -1    |      | +2   | %             |
| $I_{FB(LKG)}$   | FB 输入漏电流, 可调版本           | $V_{FB} = 0.5\text{V}$  |       | 10   | 70   | nA            |
| $I_{VOS(LKG)}$  | VOS 输入漏电流                | $V_{EN} = \text{低电平}$   |       | 100  | 500  | nA            |
| <b>电源正常</b>     |                          |   |       |      |      |               |
| $V_{PG,UV(+)}$  | 电源正常上升阈值电压 (输出欠压)        | 电源正常低电平, $V_{FB}$ 上升  | 94    | 96   | 98   | %             |
| $V_{PG,UV(-)}$  | 电源正常下降阈值电压 (输出欠压)        | 电源正常高电平, $V_{FB}$ 下降  | 90    | 92   | 94   | %             |
| $V_{PG,OV(+)}$  | 电源正常上升阈值电压 (输出过压)        | 电源正常高电平, $V_{FB}$ 上升  | 108   | 110  | 112  | %             |
| $V_{PG,OV(-)}$  | 电源正常下降阈值电压 (输出过压)        | 电源正常低电平, $V_{FB}$ 下降  | 102.5 | 105  | 107  | %             |

## 6.6 电气特性 (续)

$T_J = -40^{\circ}\text{C}$  至  $+125^{\circ}\text{C}$ ,  $V_{IN} = 2.25\text{V}$  至  $5.5\text{V}$ 。典型值是在  $T_J = 25^{\circ}\text{C}$  且  $V_{IN} = 5\text{V}$  条件下测得 (除非另有说明)

| 参数                   |                    | 测试条件  | 最小值 | 典型值  | 最大值 | 单位               |
|----------------------|--------------------|---|-----|------|-----|------------------|
| $t_d(\text{PG})$     | 启动时的电源正常延迟         | 启动时 PG 引脚上的低电平到高电平转换  |     | 128  |     | $\mu\text{s}$    |
| $t_d(\text{PG})$     | 运行期间的电源正常抗尖峰脉冲延迟   | PG 引脚上的高电平到低电平或低电平到高电平转换  | 30  | 45   | 60  | $\mu\text{s}$    |
| $I_{\text{PG(LKG)}}$ | 开漏输出高电平时的 PG 引脚漏电流 | $V_{\text{PG}} = 5.0\text{V}$   |     | 10   | 100 | nA               |
| $V_{\text{PG,OL}}$   | PG 引脚低电平输出电压       | $I_{\text{PG}} = 1\text{mA}$  |     |      | 0.4 | V                |
| <b>功率级</b>           |                    |   |     |      |     |                  |
| $R_{\text{DP}}$      | 压降电阻               | TPSM82830x, $V_{\text{IN}} \geq 5\text{V}$ , 100% 模式, $T_J = 25^{\circ}\text{C}$ , VCB 封装 |     | 55   |     | $\text{m}\Omega$ |
| $R_{\text{DP}}$      | 压降电阻               | TPSM82830x, $V_{\text{IN}} \geq 5\text{V}$ , 100% 模式, $T_J = 25^{\circ}\text{C}$ , RDS 封装 |     | 61   |     | $\text{m}\Omega$ |
| $R_{\text{DP}}$      | 压降电阻               | TPSM82830x, $V_{\text{IN}} = 2.7\text{V}$ , 100% 模式, $T_J = 25^{\circ}\text{C}$           |     | 78   | 105 | $\text{m}\Omega$ |
| $f_{\text{SW}}$      | 开关频率, PWM 模式       | $I_{\text{OUT}} = 1\text{A}$ , $V_{\text{OUT}} = 1.8\text{V}$                             |     | 2.0  |     | MHz              |
| <b>过流保护</b>          |                    |   |     |      |     |                  |
| $I_{\text{HS(OC)}}$  | 高侧峰值电流限值           | TPSM828301  | 1.8 | 2.1  | 2.6 | A                |
| $I_{\text{HS(OC)}}$  | 高侧峰值电流限值           | TPSM828302  | 2.7 | 3.3  | 3.9 | A                |
| $I_{\text{HS(OC)}}$  | 高侧峰值电流限值           | TPSM828303  | 4.0 | 4.6  | 5.4 | A                |
| $I_{\text{LS(NOC)}}$ | 低边负电流限值            | LS FET 上的灌电流限制  |     | -1.8 |     | A                |
| <b>输出放电</b>          |                    |   |     |      |     |                  |
| $I_{\text{Dis}}$     | SW 引脚上的输出放电电流      | $V_{\text{IN}} > 2\text{V}$ , $V_{\text{SW}} = 0.4\text{V}$ , EN = 低电平                    | 75  | 400  |     | mA               |

## 6.7 典型特性

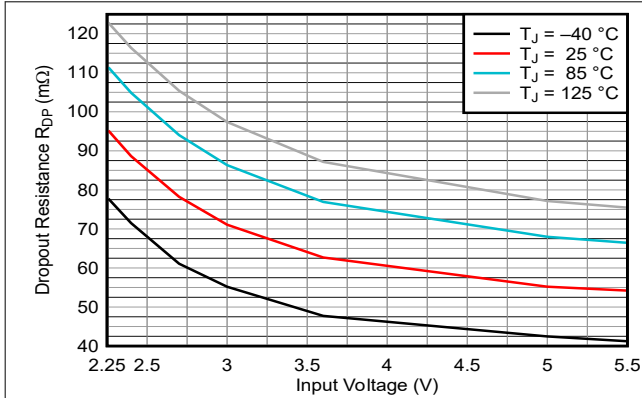


图 6-1. TPSM82830x 压降电阻 RDS 封装

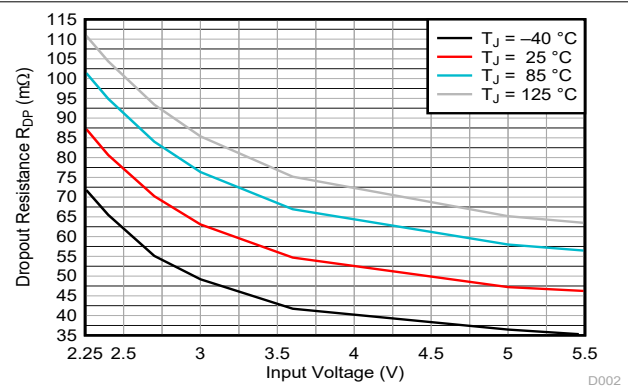


图 6-2. TPSM82830x 压降电阻 VCB 封装

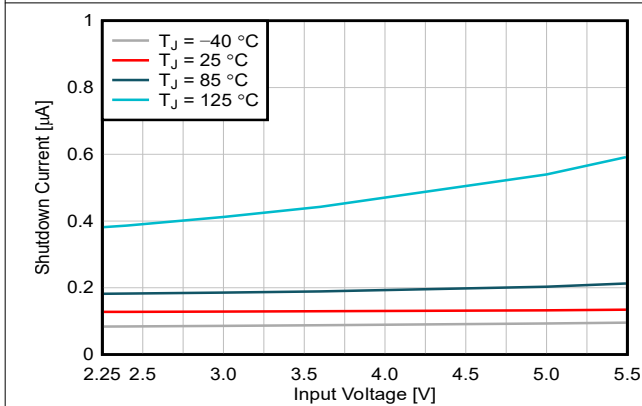


图 6-3. 关断电流

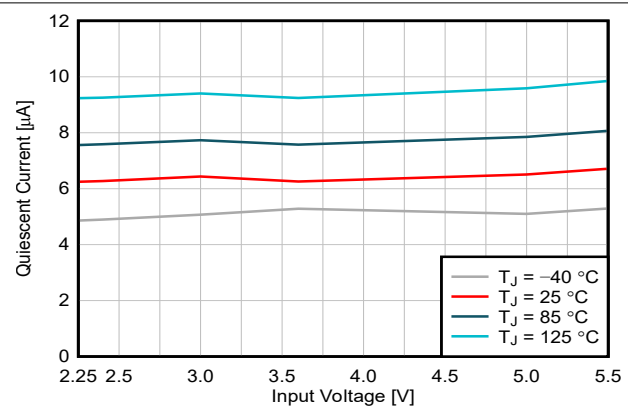


图 6-4. 静态电流



## 7 详细说明

### 7.1 概述

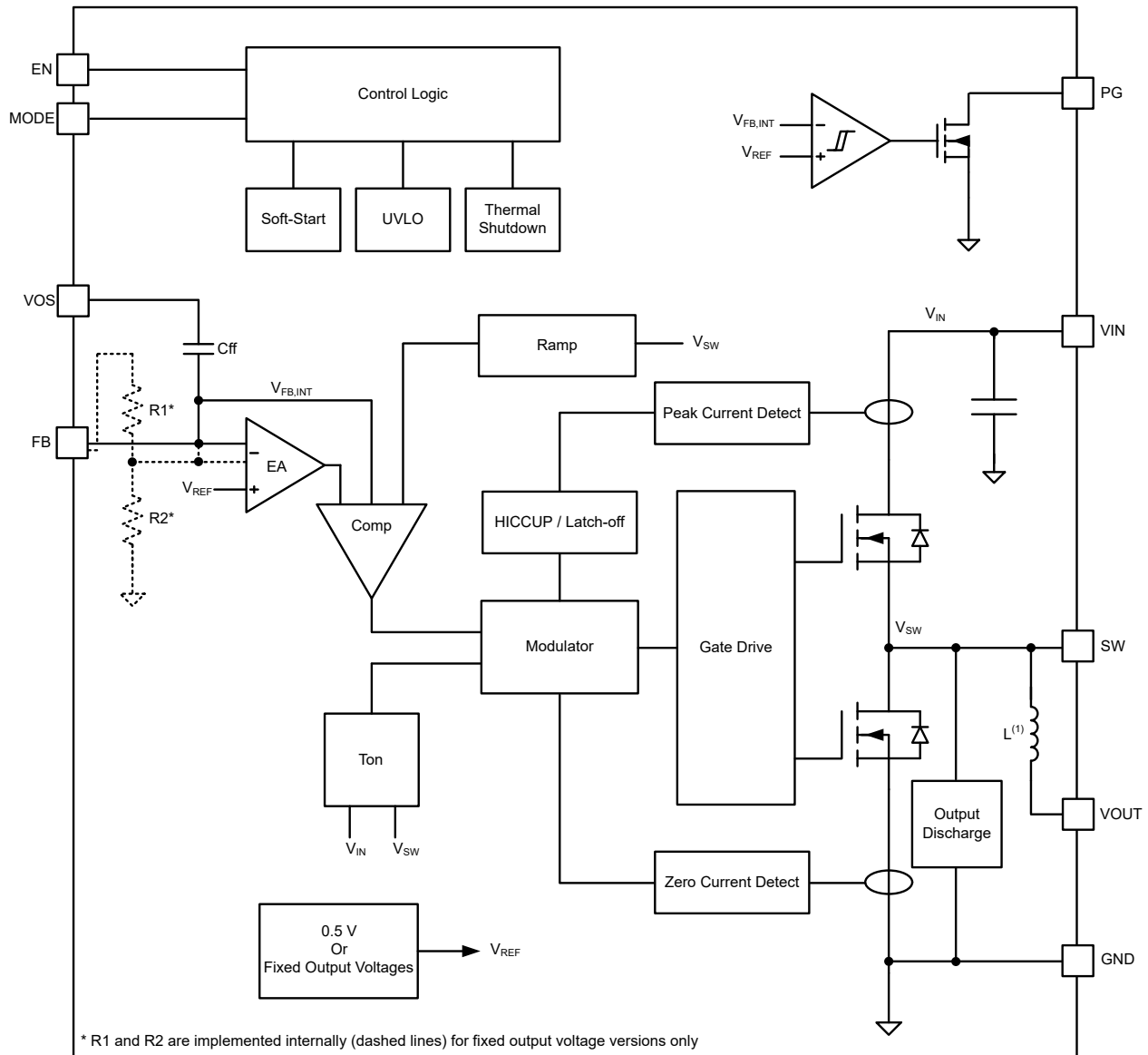
TPSM82830x 是低压降压模块系列，可提供 1A、2A 和 3A 版本。这些器件使用 DCS-Control 方案，该方案可以从中高输出电流下的脉宽调制 (PWM) 无缝转换到低输出电流下的脉冲频率调制 (PFM)。以 PWM 模式运行期间，器件以 2MHz 开关；以 PFM 模式运行期间，器件的开关频率随负载电流变化，并随着负载电流的降低而降低。对于需要超低输出电压纹波或恒定开关频率的应用，MODE 引脚上的高逻辑电平会强制器件在所有负载条件下使用 PWM（代价是在低输出电流下的效率较低）。使用外部电阻分压器可将输出电压设置为 0.5V 至 4.5V 之间的任何值，标称开关频率为 2MHz，并且在输入电压范围内的频率变化可控。

提供可支持断续和闭锁保护行为的器件型号。

与该系列中的以前器件相比，TPSM82830x 器件具有两个显著的优势：通过在 PFM 和 PWM 模式下使用快速比较器，瞬态性能得到了显著改善，而使用优化的栅极驱动器和片上去耦电容器可降低 EMI。

VCB 封装版本使用 MagPack 技术来进一步降低 EMI。MagPack 是德州仪器 (TI) 专有的集成磁性元件封装技术，可实现超高性能的电源模块设计。除了降低 EMI，MagPack 还提高了电源模块的效率和热属性。利用此特性可实现业界出色的功率密度。

## 7.2 功能方框图



## 7.3 特性说明

### 7.3.1 脉宽调制 (PWM) 运行

如果 MODE 引脚为低电平且负载电流大于电感器纹波电流的一半，则器件将在连续导通模式 (CCM) 下以脉宽调制运行，如图 7-1 所示。PWM 运行基于具有稳定开关频率的自适应恒定导通时间控制。为了在稳定状态条件下实现稳定的开关频率，导通时间的计算公式如下：

$$T_{ON} = \frac{V_{OUT}}{V_{IN}} \times 500ns \quad (1)$$

如果 MODE 引脚为高电平，转换器会在所有负载电流下保持强制 PWM 运行。

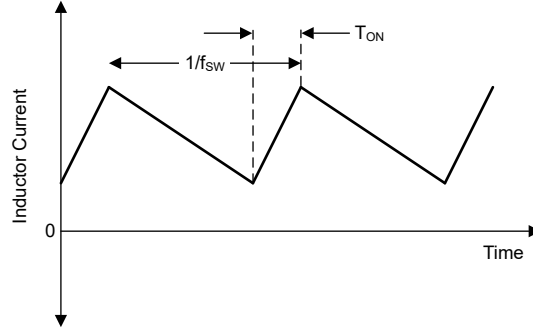


图 7-1. 连续导通模式 (PWM-CCM) 电流波形

### 7.3.2 节能模式 (PSM) 运行

为了在轻负载时保持高效率，该器件会从不连续导通模式 (DCM) 边界处进入节能模式 (PSM)。当输出电流小于电感器纹波电流的一半时，就会发生此事件。该器件以固定的导通时间运行，开关频率随负载电流成比例降低，如图 7-2 所示。计算公式如下：

$$f_{PSM} = \frac{2 \times I_{OUT}}{T_{ON}^2 \times \frac{V_{IN}}{V_{OUT}} \left[ \frac{V_{IN} - V_{OUT}}{L} \right]} \quad (2)$$

对于 RDS 封装，使用  $L = 470\text{nH}$ ；对于 VCB 封装，使用  $L = 340\text{nH}$ 。

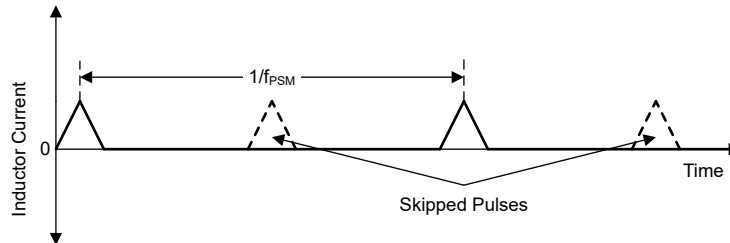


图 7-2. 不连续导通模式 (PSM-DCM) 电流波形

在 PSM 模式下，输出电压升至略高于标称目标值，可以使用更大的输出电容来更大程度地减小标称目标值。当占空比大于 90% 时，器件不会进入 PSM，并在 PWM 模式下保持输出稳压。

### 7.3.3 启动和软启动

当 EN 电压变为高电平时，器件开始将默认值加载到器件寄存器。此操作通常在  $120\ \mu\text{s}$  内完成。之后，内部软启动电路控制启动期间的输出电压。该控制可以避免过大的浪涌电流并确保输出电压斜坡受到控制。该控制还可防止高阻抗电源或电池产生不必要的压降。最后，PG 信号在启动时延迟高达  $180\ \mu\text{s}$ 。图 7-3 展示了 EN 引脚上拉至 VIN 时的启动序列。

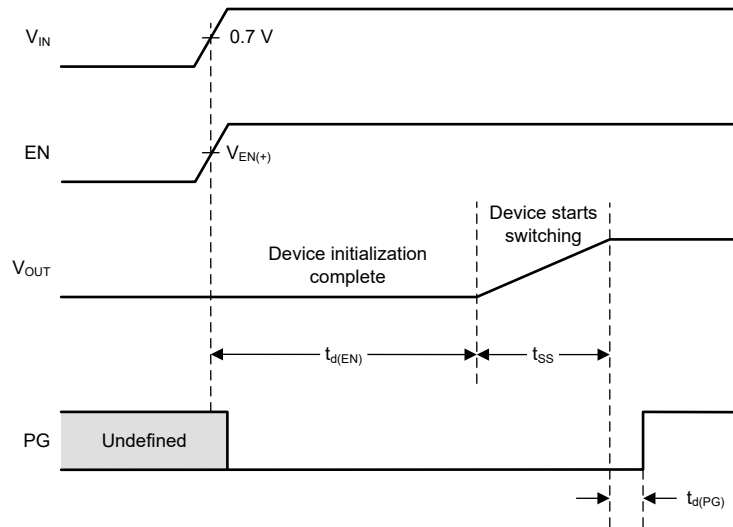


图 7-3. EN 上拉至 VIN 时的启动时序

图 7-4 展示了外部信号连接到 EN 引脚时的启动序列。

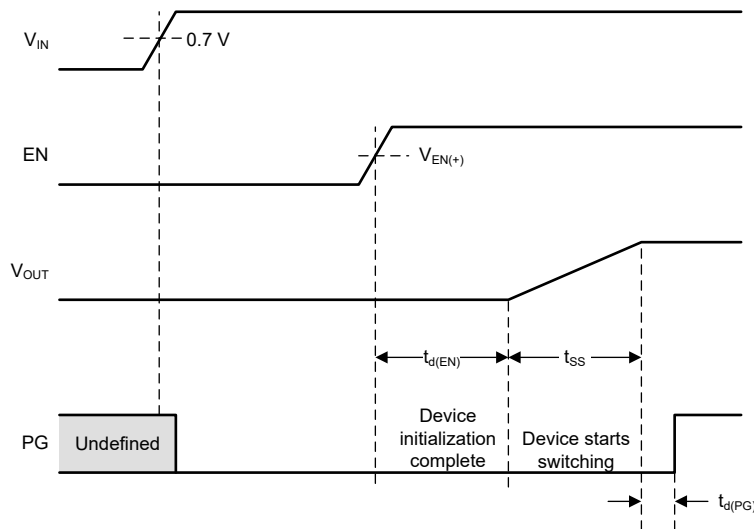


图 7-4. 外部信号连接到 EN 引脚时的启动时序

如果是首次启用，TPSM82830x 可以启动到预偏置输出。对于新的预偏置运行，需要通过下电上电来禁用有源输出放电。图 7-5 展示了启动至预偏置输出电压。

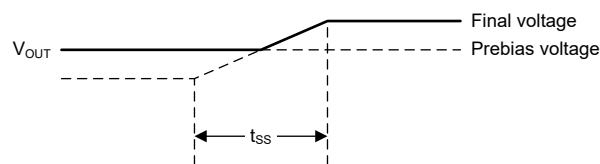


图 7-5. 启动时产生预偏置输出

### 7.3.4 开关逐周期电流限制

该系列的所有器件都具有逐周期电流限制功能。当器件检测到高侧 FET 中的电流由于重负载或短路情况而超过高侧电流限值时，该器件会立即关断高侧 FET 并导通低侧 FET。高侧 FET 会在下一个开关周期开始时再次导通。

请注意，由于电流限制比较器中存在传播延迟（通常为 60ns），当器件检测到电流限制条件时，在高侧 FET 中流动的电流会略高于器件电气特性中指定的电流限制。

### 7.3.5 欠压锁定

欠压锁定 (UVLO) 功能可防止器件在输入电压降至 UVLO 阈值以下时误运行。

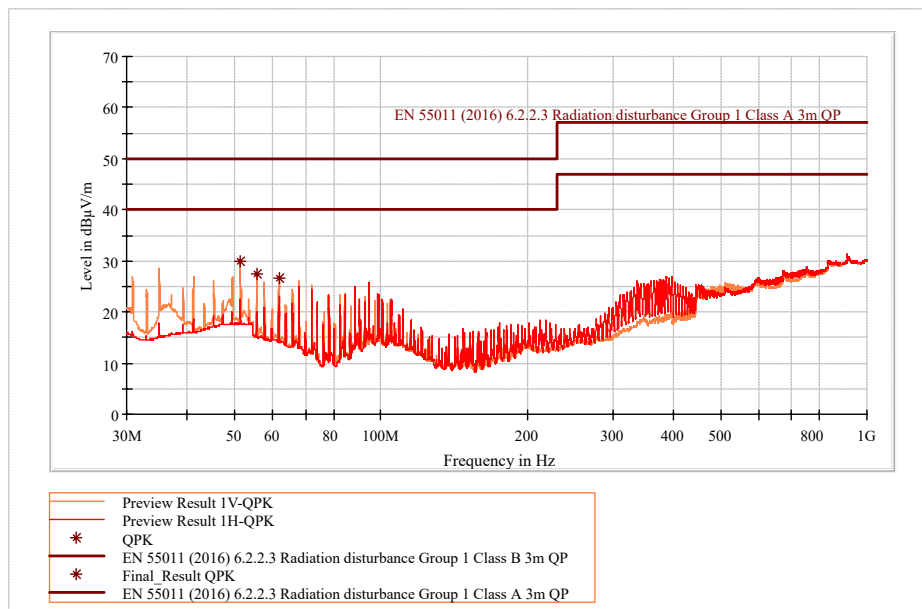
### 7.3.6 热关断

器件的结温 ( $T_J$ ) 由内部温度传感器监控。如果  $T_J$  超过  $150^{\circ}\text{C}$ （典型值），器件会进入热关断状态，迟滞通常为  $20^{\circ}\text{C}$ 。在  $T_J$  下降足够多之后，器件将恢复正常运行。

### 7.3.7 优化的 EMI 性能

TPSM82830x 器件采用先进技术，可更大限度地减少电磁干扰 (EMI)，并能轻松地满足严格的 EMI 标准。通过将电容器直接集成到器件上，减少了寄生元件并且更大限度地减小了环路面积，从而有效地减少了主要在 450MHz 以上产生的高频噪声发射。片上电容器确保为高频交流开关电流提供低电感路径，并抑制电压振铃。

除了片上电容器之外，还通过先进的压摆率控制机制和平滑电源电压来改进栅极驱动器。对开关节点电压进行适当控制来减少尖锐边缘，并更大程度地减少电压过冲，从而降低 EMI。



上图是在具有 TPSM828303ARDSR 和标准 BOM 的 EVM 上测得。

$I_{OUT} = 3\text{A}$

$V_{IN} = 5.5\text{V}$

$V_{OUT} = 1.8\text{V}$

图 7-6. 辐射 EMI 性能（符合 A 类和 B 类限制的 CISPR11 辐射发射测试）

## 7.4 器件功能模式

### 7.4.1 启用、禁用和输出放电

当使能 (EN) 设置为高电平时，器件开始运行。对于上升信号，输入阈值电平通常为  $0.8\text{V}$ ；对于下降信号，通常为  $0.35\text{V}$ 。不要让 EN 保持悬空。如果 EN 引脚拉至低电平，关断电流典型值为  $100\text{nA}$ ，则会强制关断。在关断期间，内部功率 MOSFET 和整个控制电路均关断，输出电压会由电流阱通过 SW 引脚主动放电。因此，为了使放电功能正常运作，必须维持  $V_{IN}$ 。

### 7.4.2 最小占空比和 100% 模式运行

对于小占空比没有限制，因为即使在非常低的占空比下，也会根据需要降低开关频率，以便始终确保适当的调节。

如果输出电压 ( $V_{OUT}$ ) 接近输入电压 ( $V_{IN}$ )，则器件进入 100% 模式。当高侧开关持续导通时，关断低侧开关。此操作在电池供电应用中特别有用，可通过充分利用整个电池电压范围来实现更长的运行时间。 $V_{IN}$  和  $V_{OUT}$  之间的差值由高侧 FET 上的压降和电感器的直流电阻决定。可通过以下公式来估算保持特定  $V_{OUT}$  值所需的最小  $V_{IN}$ ：

$$V_{IN,min} = V_{OUT} + I_{OUT,MAX} \times R_{DP} \quad (3)$$

其中

- $V_{IN,min}$  = 用于保持输出电压所需的最小输入电压
- $I_{OUT,MAX}$  = 最大输出电流
- $R_{DP}$  = 从  $V_{IN}$  到  $V_{OUT}$  的电阻，其中包括高侧 MOSFET 导通电阻和电感器的直流电阻

### 7.4.3 电源正常

TPSM82830x 具有内置电源正常 (PG) 功能。当输出电压达到标称值时，PG 引脚变为高阻抗。否则，包括在禁用、处于 UVLO 或热关断时，PG 为低电平 (请参阅表 7-1)。通过窗口比较器来实现 PG 功能，该比较器具有上限和下限电压阈值。PG 引脚是开漏输出，其额定灌电流不超过 1mA。电源正常输出需要使用一个连接到任何低于 5.5V 的电压轨的上拉电阻器。

表 7-1. PG 引脚逻辑

| 器件条件 |                                | 逻辑状态 |     |
|------|--------------------------------|------|-----|
|      |                                | 高阻抗  | 低电平 |
| 使能   | EN = 高电平, $V_{FB} \geq 0.48V$  | ✓    |     |
|      | EN = 高电平, $V_{FB} \leq 0.56V$  |      | ✓   |
|      | EN = 高电平, $V_{FB} \leq 0.525V$ | ✓    |     |
|      | EN = 高电平, $V_{FB} \geq 0.55V$  |      | ✓   |
| 关断   | EN = 低电平                       |      | ✓   |
| 热关断  | $T_J > T_{JSD}$                |      | ✓   |
| UVLO | $0.7V < V_{IN} < V_{UVLO}$     |      | ✓   |
| 电源移除 | $V_{IN} < 0.7V$                | ✓    |     |

通过将 PG 信号连接到其他转换器的 EN 引脚，可以使用 PG 信号对多个电源轨进行时序控制。未使用 PG 引脚时，应使其保持未连接。PG 上升沿和下降沿有一个 40 $\mu$ s 的消隐时间，如图 7-7 所示。启动时，PG 信号的延迟通常为软启动完成后的 125 $\mu$ s。

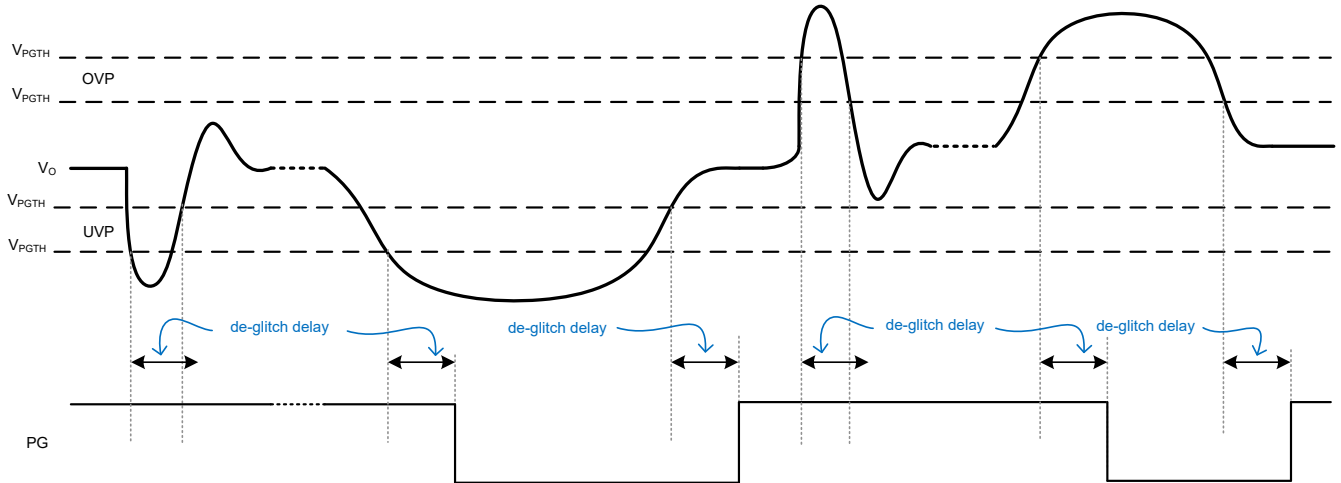


图 7-7. 电源正常行为

## 8 应用和实施

### 备注

以下应用部分中的信息不属于 TI 元件规格，TI 不担保其准确性和完整性。TI 的客户负责确定元件是否适合其用途，以及验证和测试其设计实现以确认系统功能。

### 8.1 应用信息

以下部分介绍了外部元件的设计，通过使用典型应用作为参考来完成多个输入和输出电压选项的电源设计。

TPSM82830x 是一款同步降压转换器电源模块，所需的功率电感器集成在封装内。对于 RDS 封装，电感值为  $0.47\mu\text{H}$ ，容差为  $\pm 20\%$  对于 VCB 封装，电感值为  $0.34\mu\text{H}$ ，容差为  $\pm 20\%$ 。封装类别中的系列产品成员彼此引脚对引脚兼容和 BOM 对 BOM 兼容。

### 8.2 典型应用

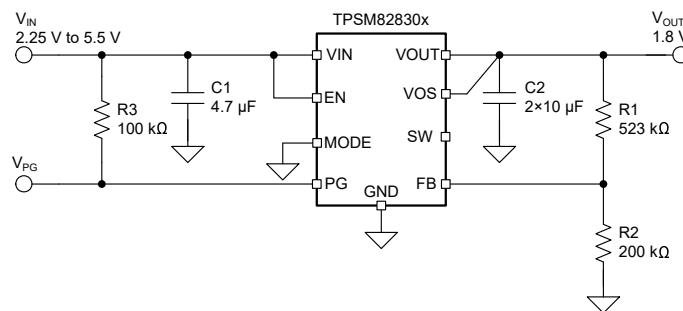


图 8-1. TPSM82830x 的典型应用

#### 8.2.1 设计要求

本设计示例使用表 8-1 中所列的参数作为输入参数。

表 8-1. 设计参数

| 设计参数   | 示例值          |
|--------|--------------|
| 输入电压   | 2.25V 至 5.5V |
| 输出电压   | 1.8V         |
| 输出纹波电压 | < 15mV       |

表 8-2 列出了该示例中使用的元件。

表 8-2. 元件列表

| 基准 | 说明  | 制造商         |
|----|---|-------------|
| C1 | 4.7μF，陶瓷电容器，6.3V，X7R，尺寸 0603，JMK107BB7475KA-T     | Taiyo Yuden |
| C2 | 2 × 10μF，陶瓷电容器，10V，X7R，尺寸 0603，GRM188Z71A106KA73D | Murata      |
| R1 | 取决于输出电压，1%，尺寸 0402                                | Std         |
| R2 | 200kΩ，片式电阻器，1/16W，1%，尺寸 0402                      | Std         |
| R3 | 100kΩ，片式电阻器，1/16W，1%，尺寸 0402                      | Std         |



## 8.2.2 详细设计过程

### 8.2.2.1 使用 WEBENCH® 工具创建定制设计方案

[点击此处](#)，使用 TPSM82830x 器件并借助 WEBENCH® Power Designer 创建定制设计方案。

1. 首先键入输入电压 ( $V_{IN}$ )、输出电压 ( $V_{OUT}$ ) 和输出电流 ( $I_{OUT}$ ) 要求。
2. 使用优化器表盘优化该设计的关键参数，如效率、占用空间和成本。
3. 将生成的设计与德州仪器 (TI) 其他可行的解决方案进行比较。

WEBENCH Power Designer 提供了定制原理图，并罗列了实时价格和元件供货情况的物料清单。

在多数情况下，可执行以下操作：

- 运行电气仿真，观察重要波形以及电路性能
- 运行热性能仿真，了解电路板热性能
- 将定制原理图和布局方案以常用 CAD 格式导出
- 打印 PDF 格式的设计报告并与同事共享

有关 WEBENCH 工具的更多信息，请访问 [www.ti.com.cn/WEBENCH](http://www.ti.com.cn/WEBENCH)。

### 8.2.2.2 设置输出电压

可根据 [方程式 4](#) 使用一个外部电阻分压器来设置输出电压：

$$R1 = R2 \times \left( \frac{V_{OUT}}{V_{FB}} - 1 \right) = R2 \times \left( \frac{V_{OUT}}{0.5V} - 1 \right) \quad (4)$$

为了在轻负载下实现高效率，同时提供可接受的噪声灵敏度， $R2$  可以是  $200k\Omega$  和  $600k\Omega$  之间的任意值。

### 8.2.2.3 输入电容器选型

输入电容器是转换器的低阻抗能量源，有助于实现稳定运行。由于降压转换器有一个脉冲输入电流，为了实现更好的输入电压滤波，需要一个低 ESR 陶瓷输入电容器来大大减小输入电压尖峰。将电容器放置在  $V_{IN}$  和  $GND$  引脚之间，并尽可能靠近这些引脚。

对于大多数应用， $3\mu F$  的最小有效输入电容就足够了，但使用具有较大值的电容可降低输入电流纹波，因此建议使用较大值的电容。使用高阻抗电源运行时，TI 建议使用大于等于  $10\mu F$  的更大输入缓冲电容器，从而避免启动和负载瞬态期间出现压降。此外，如果器件输入端出现噪声，也可以使用小型解耦电容器。为了实现更好的输入电压滤波，可尽可能地增加输入电容器。

[表 8-3](#) 显示了推荐的电容器列表。

**表 8-3. 推荐电容器列表**

| 标称电容 [ $\mu F$ ] | 额定电压 [V] | 尺寸 [mm]           | 制造商器件型号 <sup>(1)</sup>            |
|------------------|----------|-------------------|-----------------------------------|
| 4.7              | 6.3      | 1.6 × 0.8 × 0.8   | MSASJ168BB7475MTNA01, Taiyo Yuden |
| 4.7              | 10       | 2.0 × 1.25 × 1.25 | C2012X7R1A475K125AC, TDK          |
| 10               | 10       | 1.6 × 0.8 × 0.8   | GRM188Z71A106KA73#, MuRata        |

(1) 请参阅 [第三方产品免责声明](#)

### 8.2.2.4 输出电容器选型

TPSM82830x 的 DCS-Control 方案允许使用微型陶瓷电容器。具有低 ESR 值的陶瓷电容器可获得极低的输出电压纹波，因此建议使用此类电容器。为了在高频下保持低电阻值并在温度变化时使电容具有窄变化幅度，TI 建议使用 X7R 或 X5R 电介质电容器。轻负载电流时，转换器运行在省电模式，并且输出电压纹波取决于输出电容器值。可以使用更大的电容来减少输出电压纹波。考虑到直流偏置降额电容，建议的最小有效输出电容为  $12\mu F$ 。建议的典型输出电容器值为  $2 \times 10\mu F$  或  $1 \times 22\mu F$ ，采用 X5R 或 X7R 电介质。[表 8-4](#)

表 8-4. 推荐电容器列表

| 标称电容 [ $\mu\text{F}$ ] | 额定电压 [V] | 尺寸 [mm]           | 制造商器件型号 <sup>(1)</sup>            |
|------------------------|----------|-------------------|-----------------------------------|
| 10                     | 6.3      | 2.0 × 1.5 × 1.25  | MSASJ21GAB7106MTNA01, Taiyo Yuden |
| 10                     | 10       | 2.0 × 1.25 × 1.25 | C2012X7R1A106K125AC, TDK          |
| 10                     | 10       | 1.6 × 0.8 × 0.8   | GRM188Z71A106KA73#, MuRata        |
| 10                     | 10       | 1.6 × 0.8 × 0.8   | C1608X5R1A106K080AC, TDK          |
| 22                     | 10       | 2.0 × 1.25 × 1.25 | GRM21BZ71A226ME15#, MuRata        |
| 22                     | 10       | 1.6 × 0.8 × 0.8   | C1608X5R1A226M080AC, TDK          |

### 8.2.3 应用曲线

$T_A = 25^\circ\text{C}$ ,  $V_{IN} = 5\text{V}$ ,  $V_{OUT} = 1.8\text{V}$ , BOM = 表 8-2 (除非另有说明)。

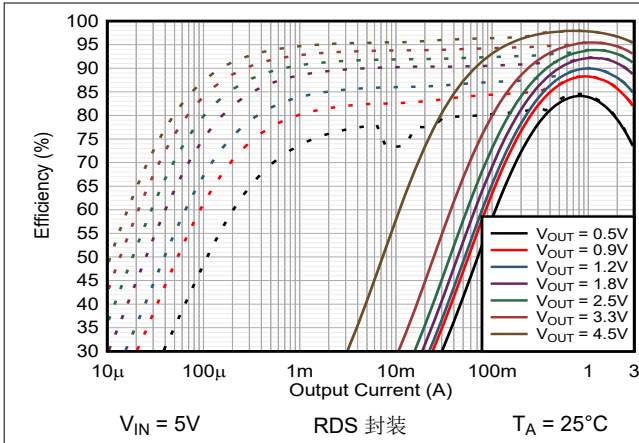


图 8-2. 效率与输出电流间的关系

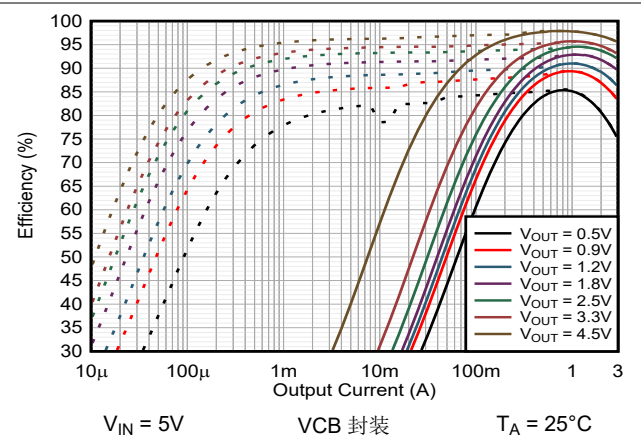


图 8-3. 效率与输出电流间的关系

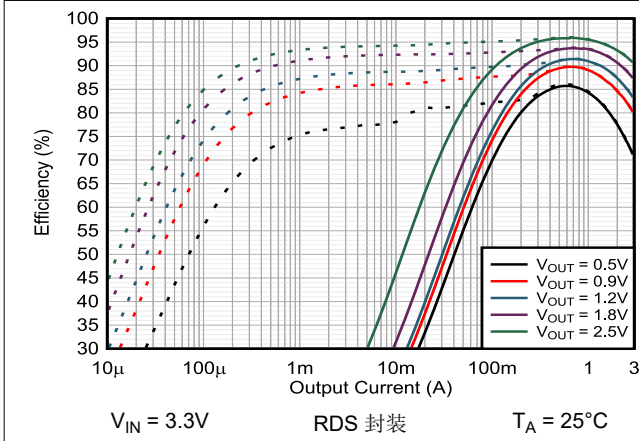


图 8-4. 效率与输出电流间的关系

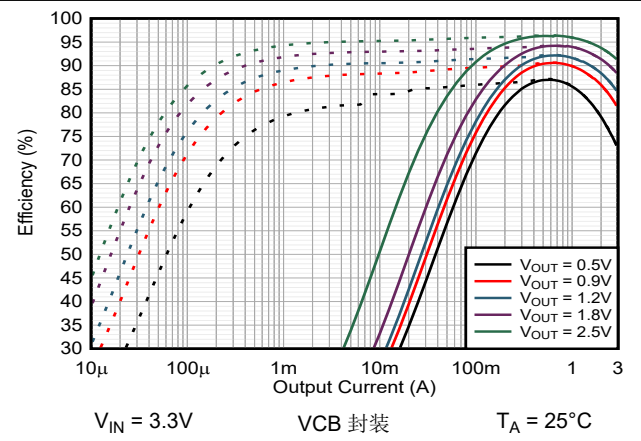


图 8-5. 效率与输出电流间的关系

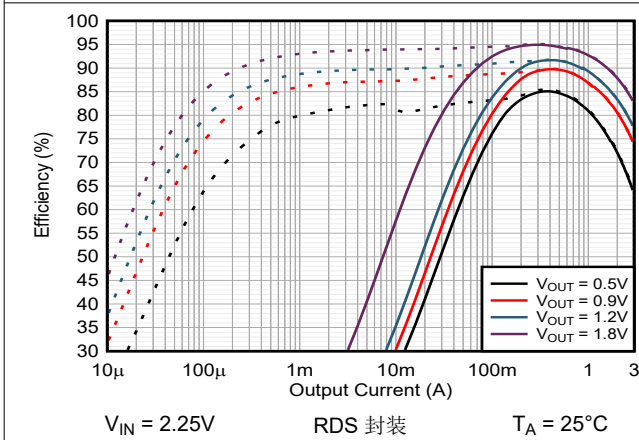


图 8-6. 效率与输出电流间的关系

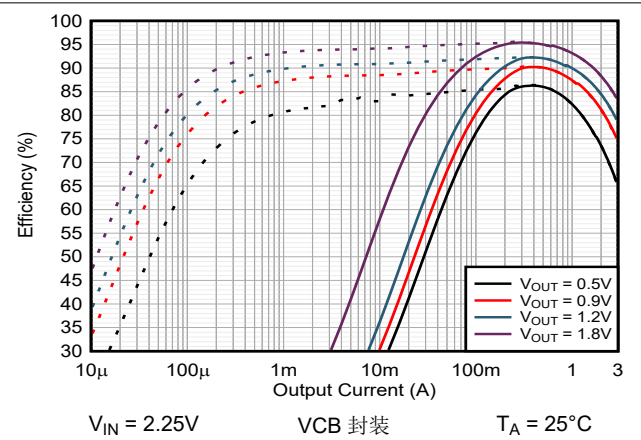


图 8-7. 效率与输出电流间的关系

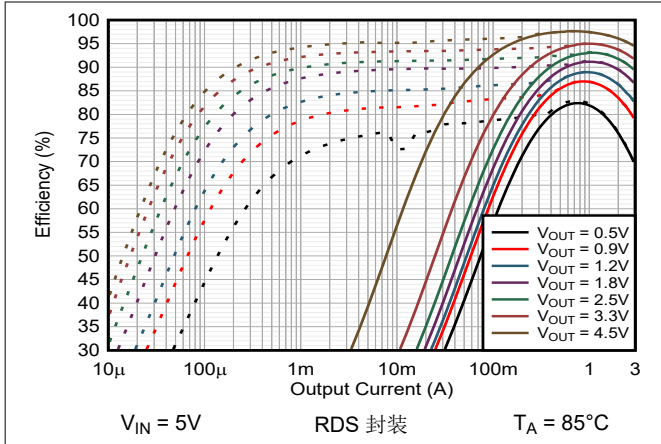


图 8-8. 效率与输出电流间的关系

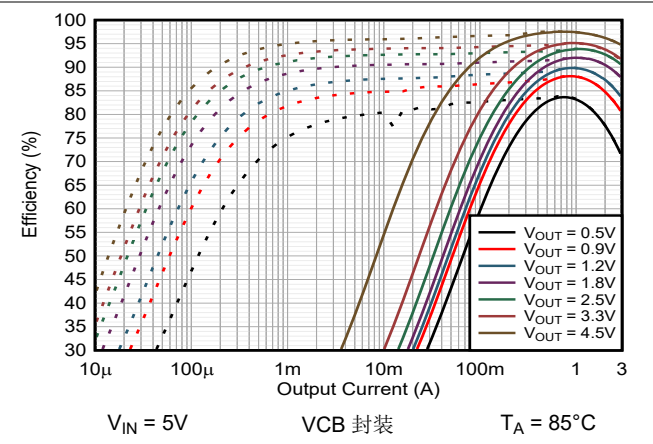


图 8-9. 效率与输出电流间的关系

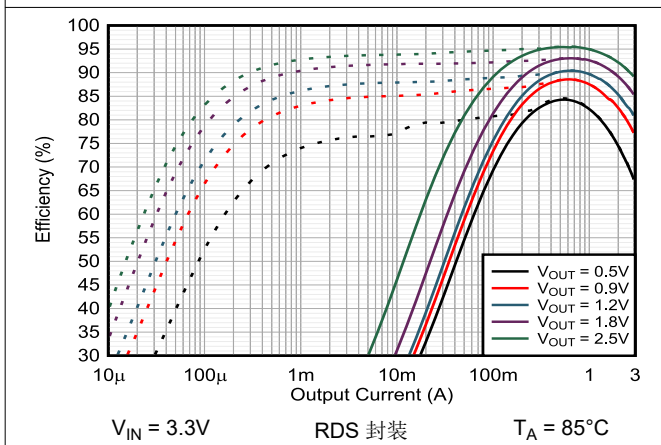


图 8-10. 效率与输出电流间的关系

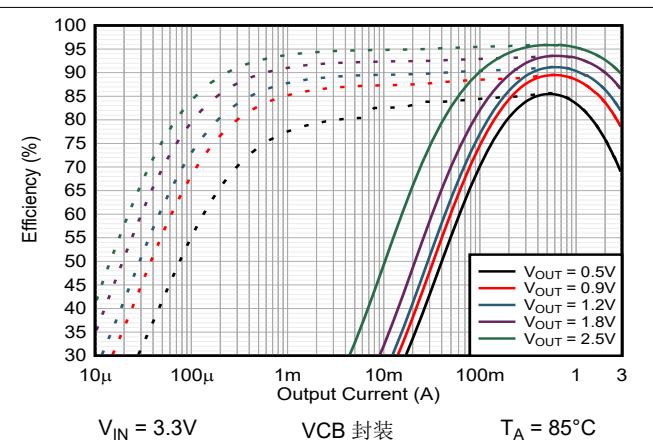


图 8-11. 效率与输出电流间的关系

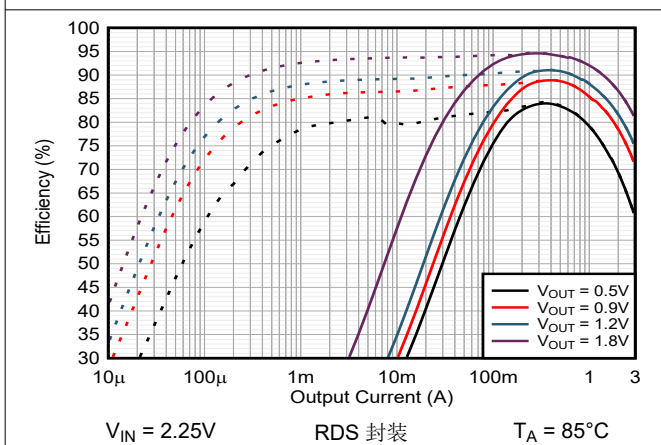


图 8-12. 效率与输出电流间的关系

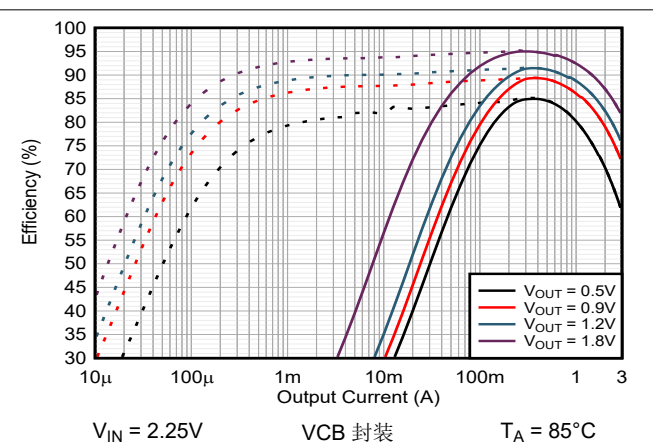
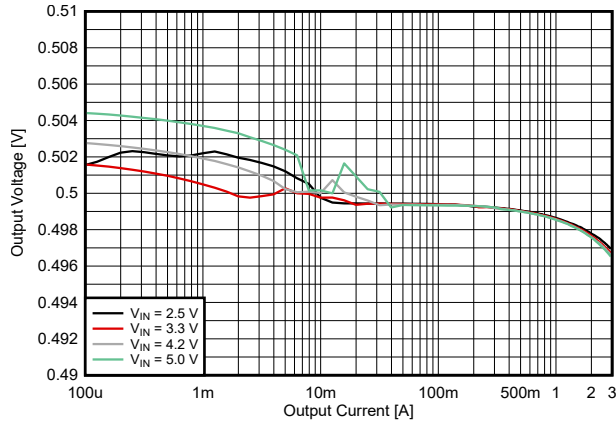
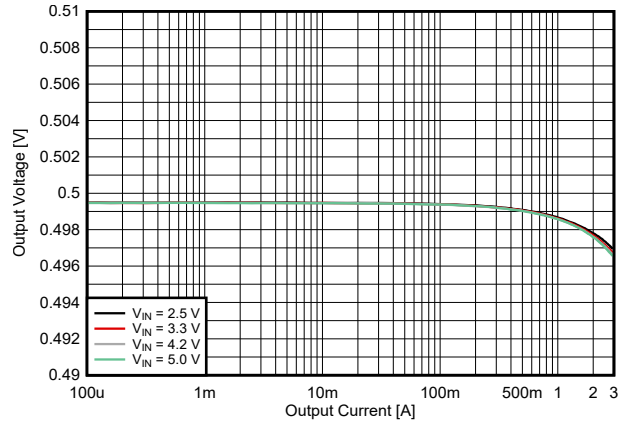


图 8-13. 效率与输出电流间的关系



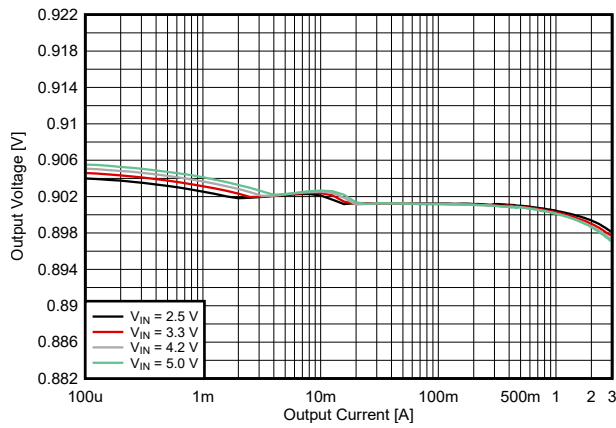
$V_{OUT} = 0.5V$  PFM

图 8-14. 输出电压与输出电流间的关系



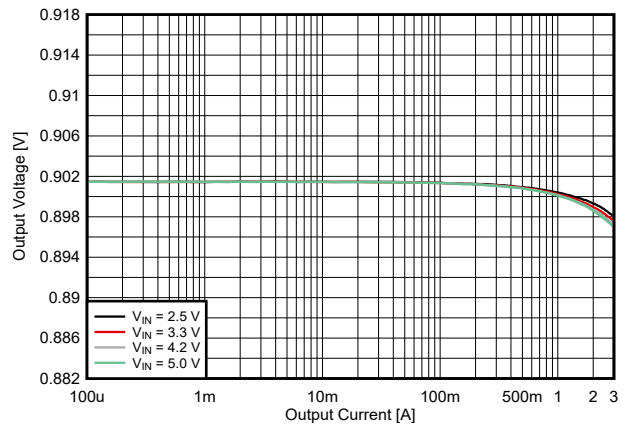
$V_{OUT} = 0.5V$  PWM

图 8-15. 输出电压与输出电流间的关系



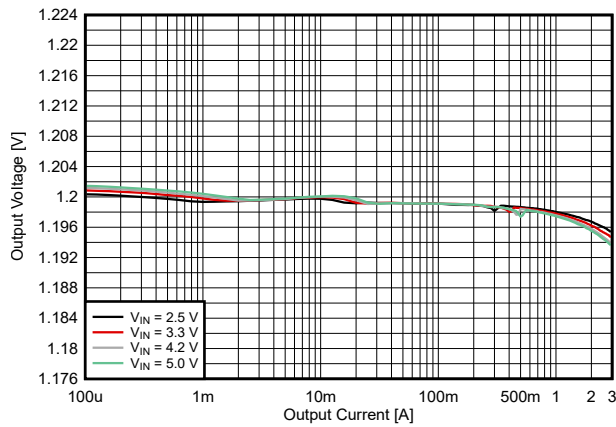
$V_{OUT} = 0.9V$  PFM

图 8-16. 输出电压与输出电流间的关系



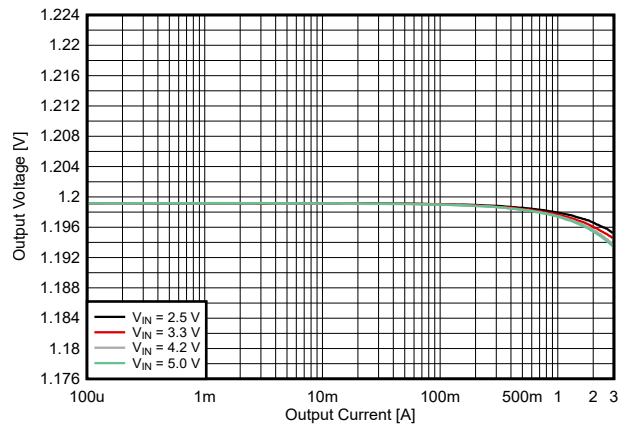
$V_{OUT} = 0.9V$  PWM

图 8-17. 输出电压与输出电流间的关系



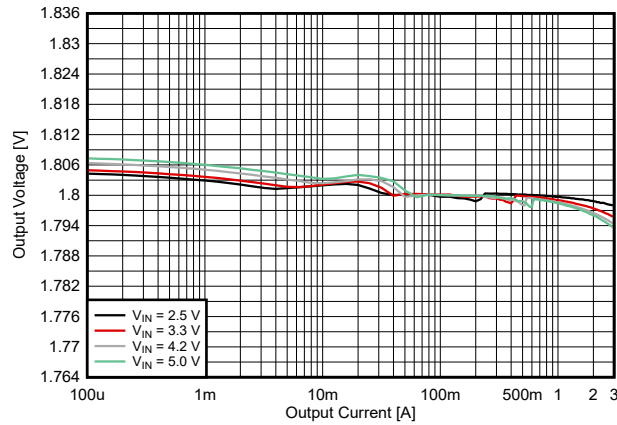
$V_{OUT} = 1.2V$  PFM

图 8-18. 输出电压与输出电流间的关系



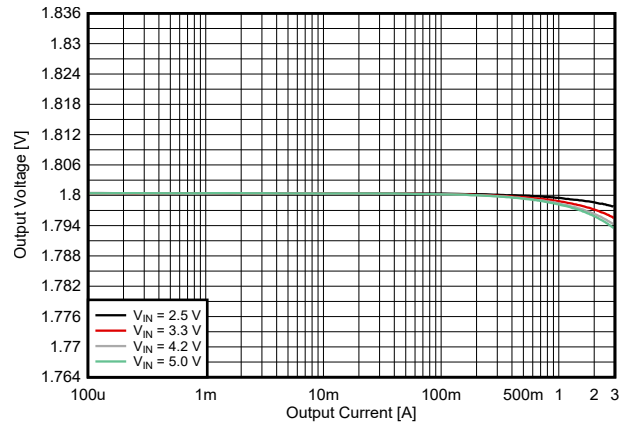
$V_{OUT} = 1.2V$  PWM

图 8-19. 输出电压与输出电流间的关系



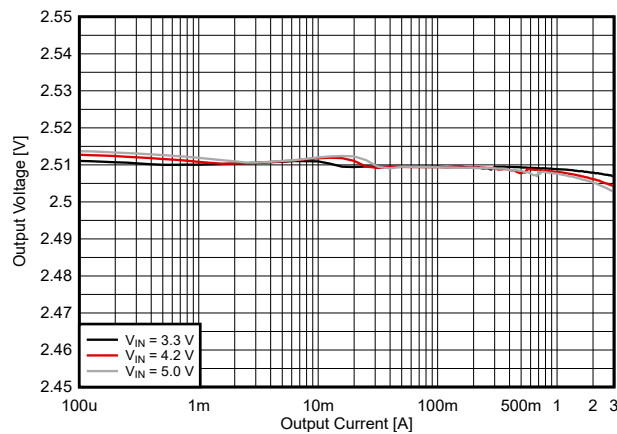
$V_{OUT} = 1.8V$  PFM

图 8-20. 输出电压与输出电流间的关系



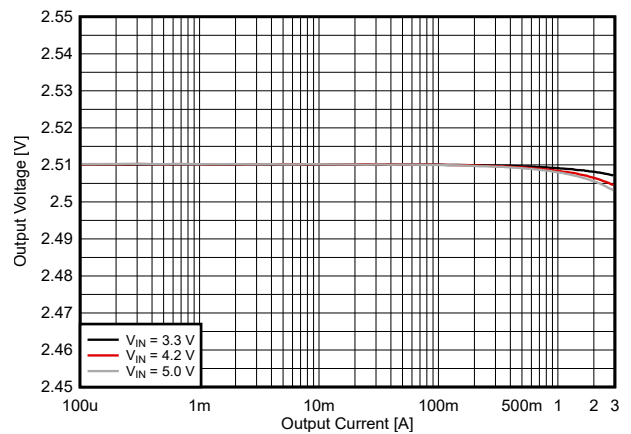
$V_{OUT} = 1.8V$  PWM

图 8-21. 输出电压与输出电流间的关系



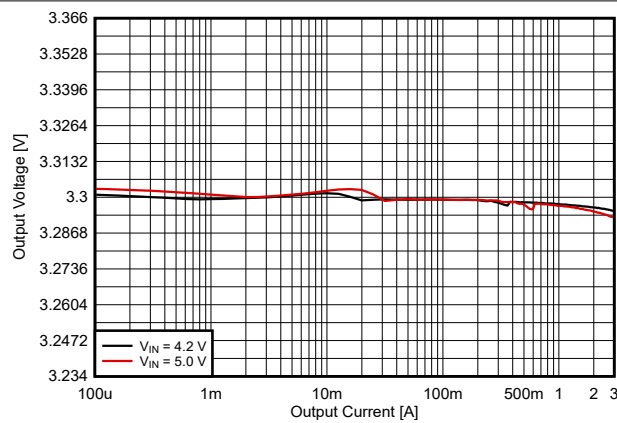
$V_{OUT} = 2.5V$  PFM

图 8-22. 输出电压与输出电流间的关系



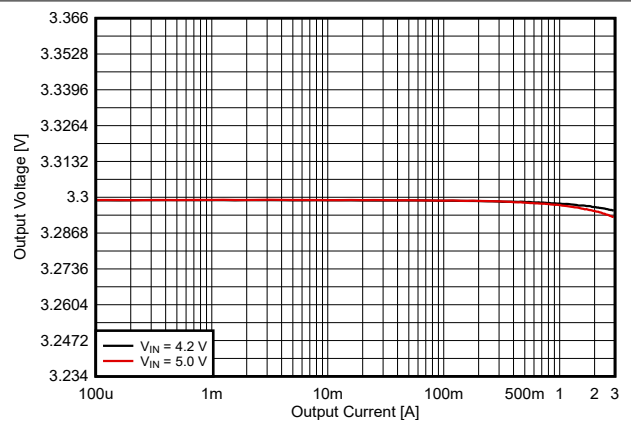
$V_{OUT} = 2.5V$  PWM

图 8-23. 输出电压与输出电流间的关系



$V_{OUT} = 3.3V$  PFM

图 8-24. 输出电压与输出电流间的关系



$V_{OUT} = 3.3V$  PWM

图 8-25. 输出电压与输出电流间的关系

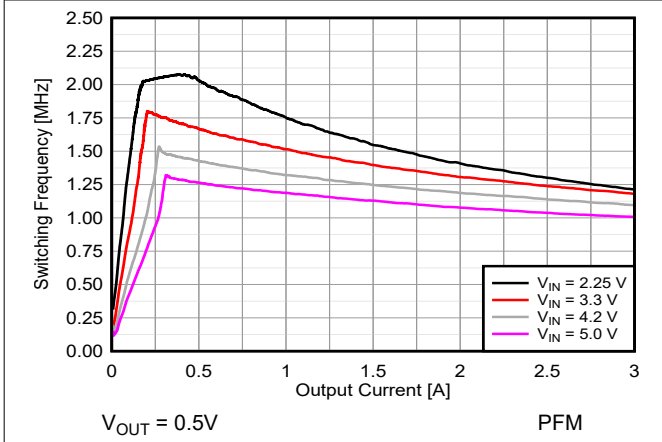


图 8-26. 开关频率与输出电流间的关系

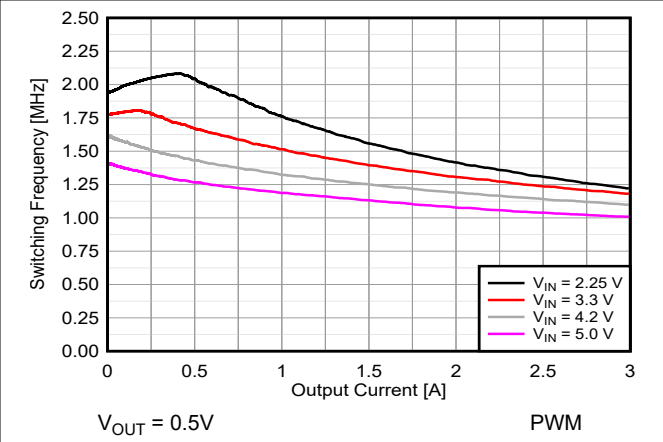


图 8-27. 开关频率与输出电流间的关系

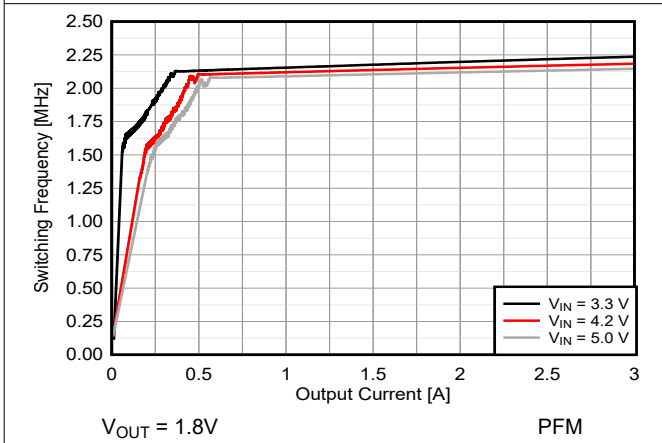


图 8-28. 开关频率与输出电流间的关系

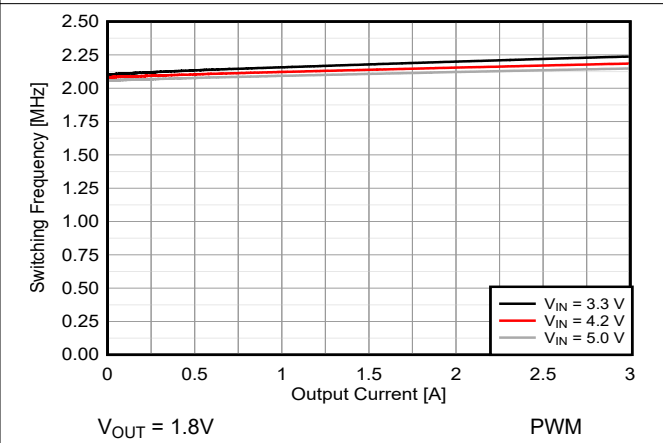


图 8-29. 开关频率与输出电流间的关系

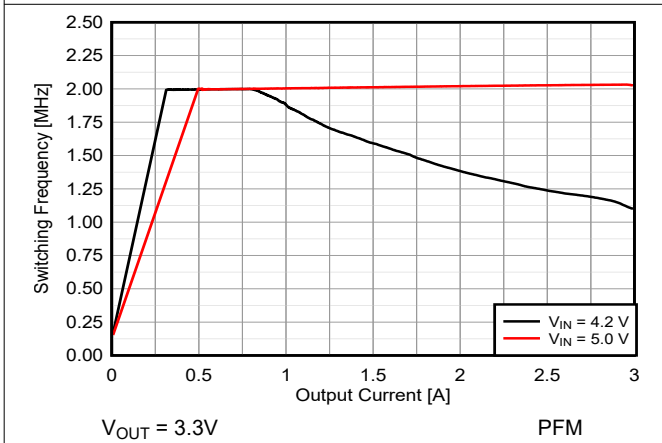


图 8-30. 开关频率与输出电流间的关系

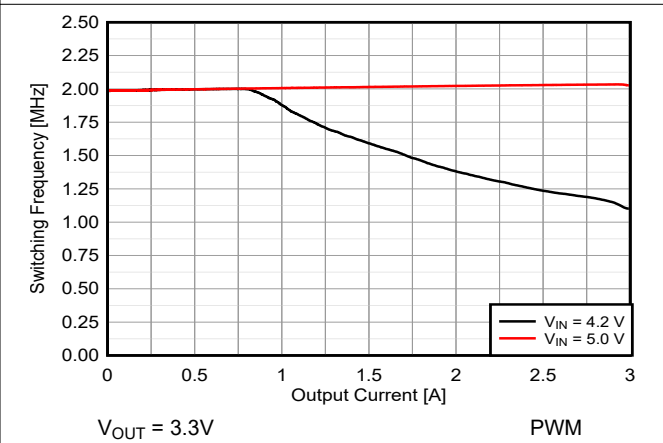


图 8-31. 开关频率与输出电流间的关系

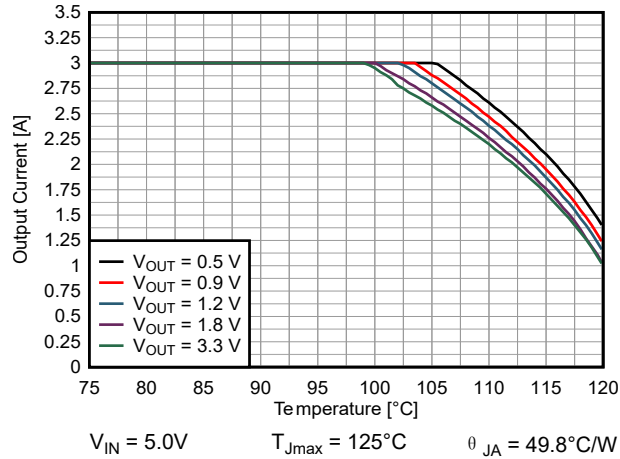


图 8-32. 热降额 (安全工作区)

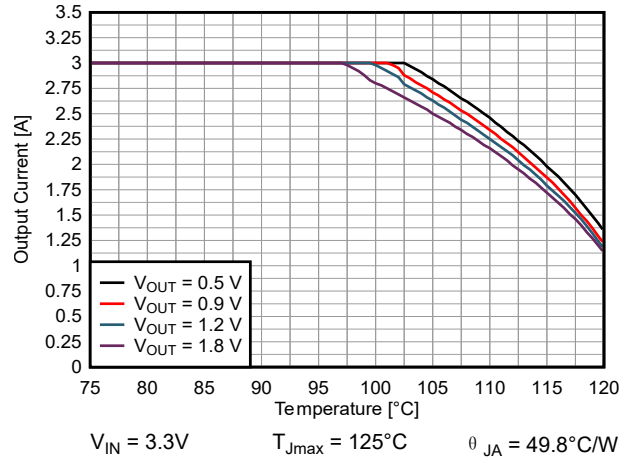
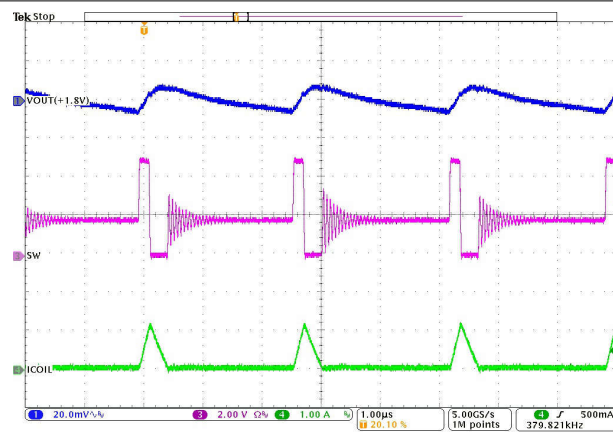
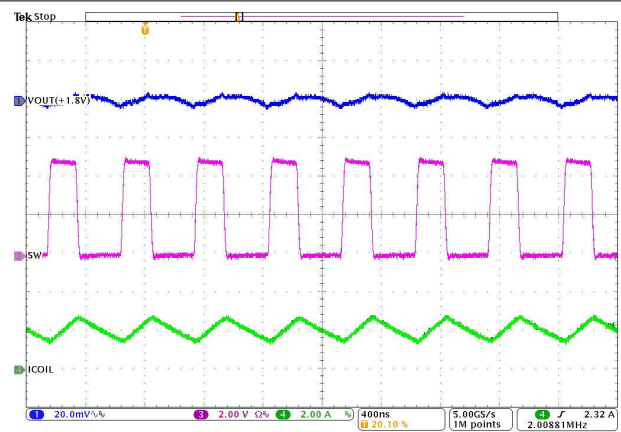


图 8-33. 热降额 (安全工作区)



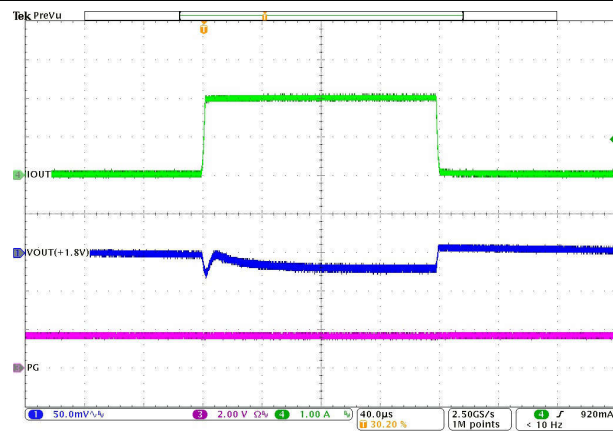
$I_{OUT} = 100\text{mA}$  PFM

图 8-34. 输出电压纹波



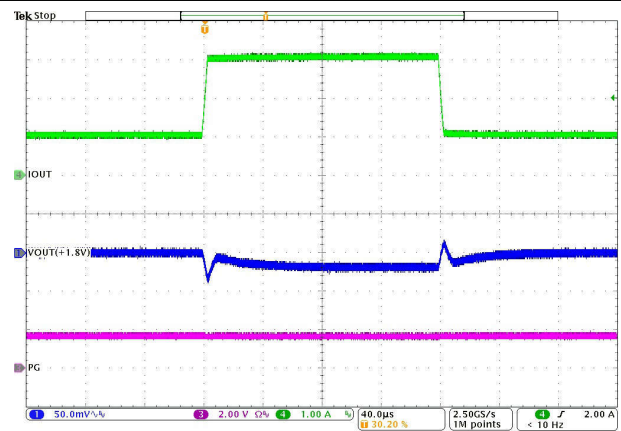
$I_{OUT} = 2\text{A}$  PWM

图 8-35. 输出电压纹波



$I_{OUT} = 1\text{mA}$  至  $2\text{A}$  PFM 压摆率 =  $1\text{A}/\mu\text{s}$

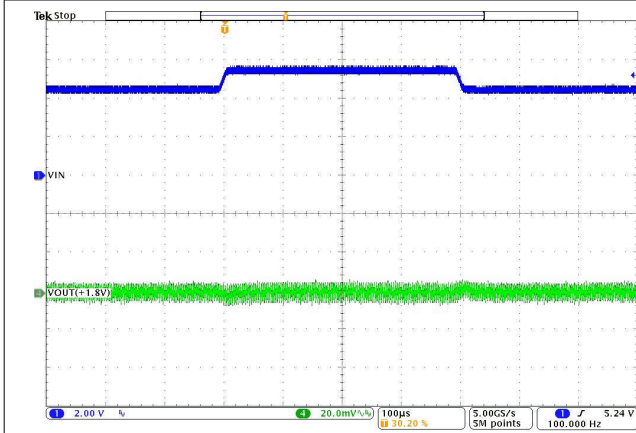
图 8-36. 负载瞬态



$I_{OUT} = 0\text{mA}$  至  $1\text{A}$  PWM 压摆率 =  $1\text{A}/\mu\text{s}$

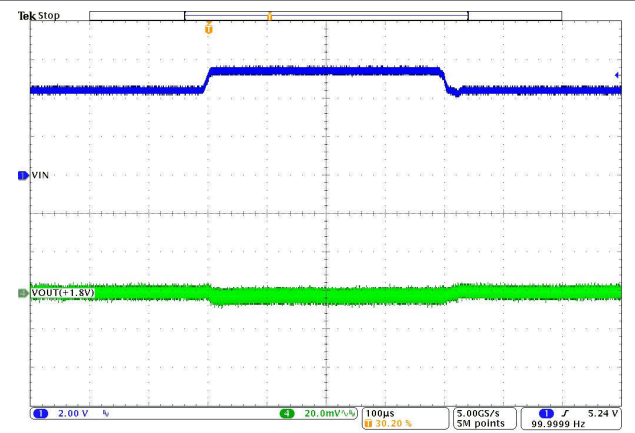
图 8-37. 负载瞬态





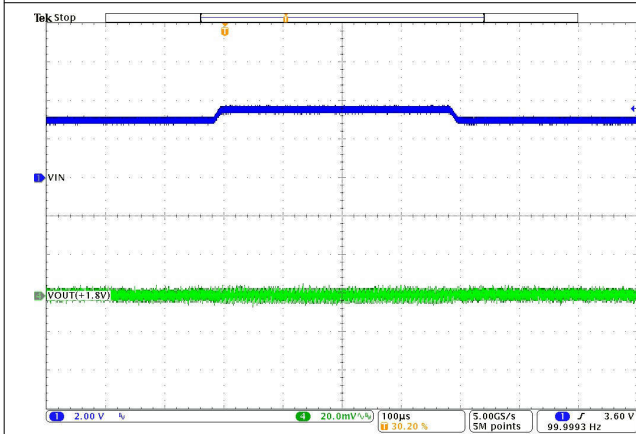
$V_{IN} = 4.5V$  至  $5.5V$       PFM       $I_{OUT} = 100mA$

图 8-38. 线路瞬态



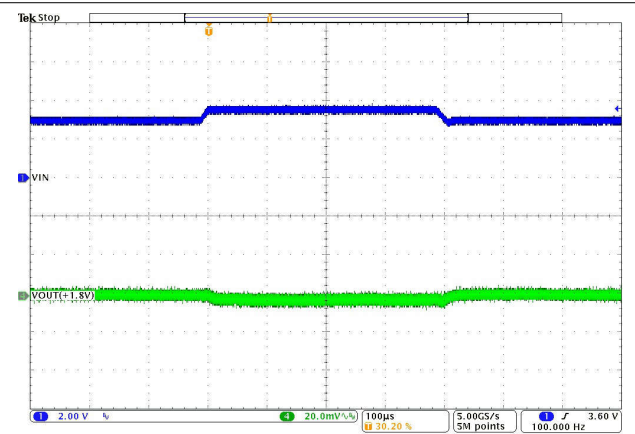
$V_{IN} = 4.5V$  至  $5.5V$       PFM 或 PWM       $I_{OUT} = 2A$

图 8-39. 线路瞬态



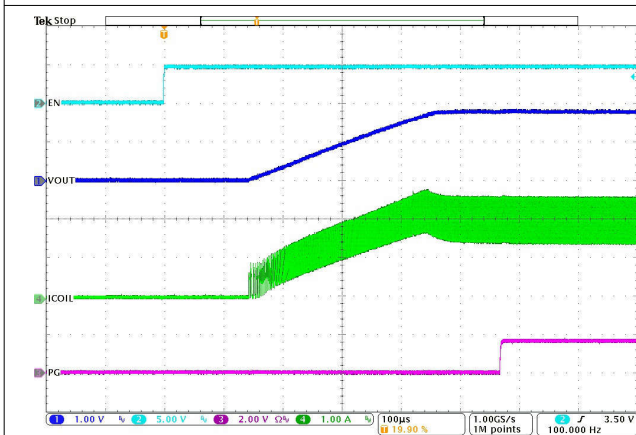
$V_{IN} = 3.0V$  至  $3.6V$       PFM       $I_{OUT} = 100mA$   
 $V_{OUT} = 1.8V$

图 8-40. 线路瞬态



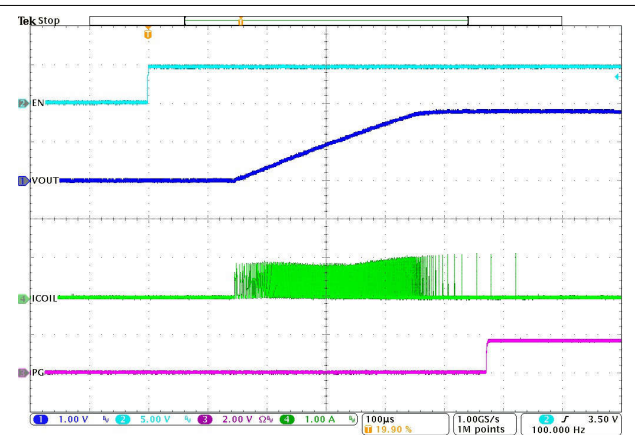
$V_{IN} = 3.0V$  至  $3.6V$       PFM 或 PWM       $I_{OUT} = 2A$   
 $V_{OUT} = 1.8V$

图 8-41. 线路瞬态



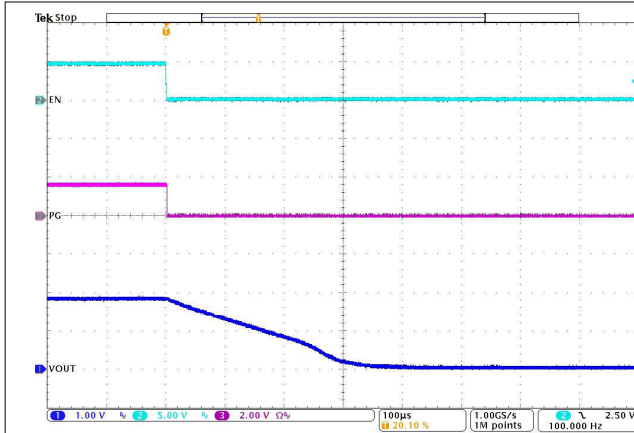
$I_{OUT} = 2A$       PFM 或 PWM

图 8-42. 在有负载的条件下启动

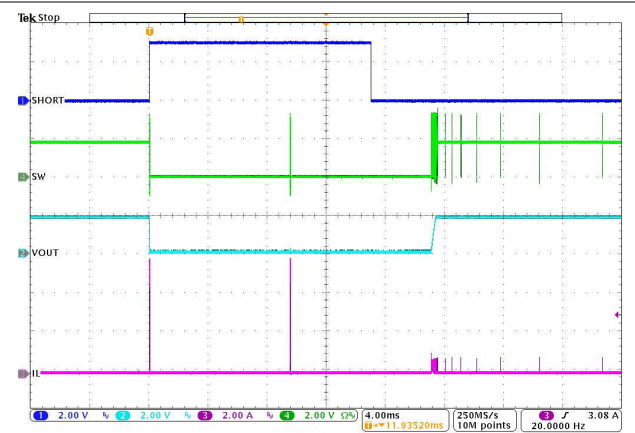


$I_{OUT} = 0mA$       PFM

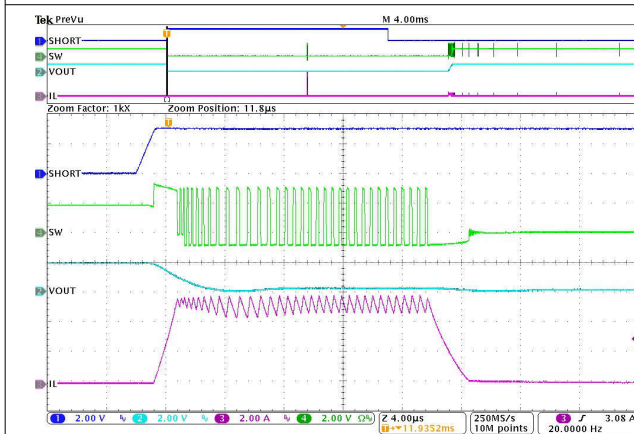
图 8-43. 空载启动



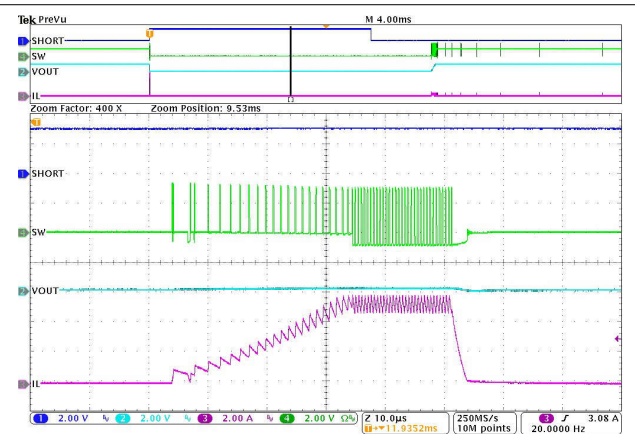
$I_{OUT} = 0\text{mA}$  PFM  
图 8-44. 禁用, 空载时有源输出放电



$I_{OUT} = 1\text{A}$  PFM 或 PWM  
图 8-45. 断续短路保护



$I_{OUT} = 1.0\text{A}$  PFM 或 PWM  
图 8-46. 断续短路保护 (放大)



$I_{OUT} = 1.0\text{A}$  PFM 或 PWM  
图 8-47. 断续短路保护 (放大 - 第二个断续)

### 8.3 电源相关建议

TPSM82830x 系列对于输入电源没有特殊要求, 并且设计为在 2.25V 至 5.5V 的输入电源电压范围内运行。输入电源的输出电流必须根据器件的电源电压、输出电压和输出电流确定额定值。

### 8.4 布局

#### 8.4.1 布局指南

印刷电路板 (PCB) 布局是使器件保持高性能的重要一步。有关建议的低 EMI PCB 布局, 请参阅 [布局示例](#)。

- 将输入和输出电容器尽可能靠近 IC 放置。该操作可保持电源布线较短。采用宽而直的电源布线可实现低布线电阻和低寄生电感。
- 将输入和输出电容器的低侧正确连接到 GND 引脚, 以避免接地电势偏移。
- 请特别注意避免产生噪声。连接到 FB 的检测布线是信号布线。将这些布线远离 SW 节点。FB 电阻器的输出电压迹线必须在输出电容器上连接。
- 有关具有良好 EMI 性能的元素放置、布线和热设计的示例, 请参阅 [布局示例](#)。

### 8.4.2 布局示例

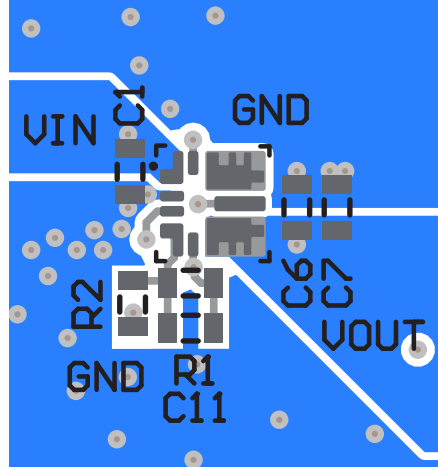


图 8-48. PCB 布局建议 ( RDS 封装 )

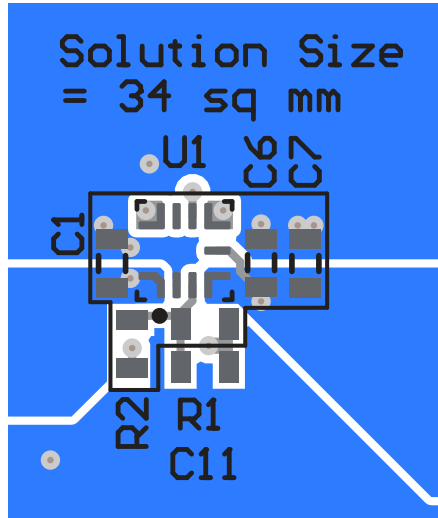


图 8-49. PCB 布局建议 ( VCB 封装 )

#### 8.4.2.1 散热注意事项

在薄型和细间距表面贴装封装中实现集成电路通常需要特别注意功率耗散。许多取决于系统的问题（如热耦合、空气流量、添加的散热器和对流表面）以及其他发热元件的存在会影响给定元件的功率耗散限制。

增强热性能的两种基本方法是：

- 增强 PCB 设计的散热能力
- 在系统中引入空气流量

[热性能信息模块](#) 中的热性能数据部分提供了在考虑实际应用的 PCB 设计后 EVM 上器件的热指标。连接到 PCB 上 IC 焊盘的大铜平面可提高器件的热性能。有关如何使用热参数的更多详细信息，请参阅热性能特性应用手册，[采用 JEDEC PCB 设计的线性和逻辑封装热特性](#) 和 [半导体和 IC 封装热指标](#)。

## 9 器件和文档支持

### 9.1 器件支持

#### 9.1.1 第三方产品免责声明

TI 发布的与第三方产品或服务有关的信息，不能构成与此类产品或服务或保修的适用性有关的认可，不能构成此类产品或服务单独或与任何 TI 产品或服务一起的表示或认可。

#### 9.1.2 开发支持

##### 9.1.2.1 使用 WEBENCH® 工具创建定制设计方案

[点击此处](#)，使用 TPSM82830x 器件并借助 WEBENCH® Power Designer 创建定制设计方案。

1. 首先键入输入电压 ( $V_{IN}$ )、输出电压 ( $V_{OUT}$ ) 和输出电流 ( $I_{OUT}$ ) 要求。
2. 使用优化器表盘优化该设计的关键参数，如效率、占用空间和成本。
3. 将生成的设计与德州仪器 (TI) 其他可行的解决方案进行比较。

WEBENCH Power Designer 提供了定制原理图，并罗列了实时价格和元件供货情况的物料清单。

在多数情况下，可执行以下操作：

- 运行电气仿真，观察重要波形以及电路性能
- 运行热性能仿真，了解电路板热性能
- 将定制原理图和布局方案以常用 CAD 格式导出
- 打印 PDF 格式的设计报告并与同事共享

有关 WEBENCH 工具的更多信息，请访问 [www.ti.com.cn/WEBENCH](http://www.ti.com.cn/WEBENCH)。

### 9.2 文档支持

#### 9.2.1 相关文档

请参阅以下相关文档：

- 德州仪器 (TI)，[采用 JEDEC PCB 设计的线性和逻辑封装的热特性](#) 应用手册
- 德州仪器 (TI)，[半导体和 IC 封装热指标](#) 应用手册

### 9.3 支持资源

TI E2E™ 中文支持论坛是工程师的重要参考资料，可直接从专家处获得快速、经过验证的解答和设计帮助。搜索现有解答或提出自己的问题，获得所需的快速设计帮助。

链接的内容由各个贡献者“按原样”提供。这些内容并不构成 TI 技术规范，并且不一定反映 TI 的观点；请参阅 TI 的[使用条款](#)。

### 9.4 商标

MagPack™ and TI E2E™ are trademarks of Texas Instruments.

所有商标均为其各自所有者的财产。

### 9.5 静电放电警告



静电放电 (ESD) 会损坏这个集成电路。德州仪器 (TI) 建议通过适当的预防措施处理所有集成电路。如果不遵守正确的处理和安装程序，可能会损坏集成电路。

ESD 的损坏小至导致微小的性能降级，大至整个器件故障。精密的集成电路可能更容易受到损坏，这是因为非常细微的参数更改都可能会导致器件与其发布的规格不相符。

### 9.6 术语表

[TI 术语表](#) 本术语表列出并解释了术语、首字母缩略词和定义。

## 10 修订历史记录

注：以前版本的页码可能与当前版本的页码不同

| <b>Changes from Revision A (December 2023) to Revision B (June 2024)</b> | <b>Page</b> |
|--|-------------|
| • 添加了 TPSM828303PVCBR ( 预告信息 ) .....                                     | <b>1</b>    |

| <b>Changes from Revision * (July 2023) to Revision A (December 2023)</b> | <b>Page</b> |
|--|-------------|
| • 将文档状态从“预告信息”更改为“量产数据” .....  | <b>1</b>    |

## 11 机械、封装和可订购信息

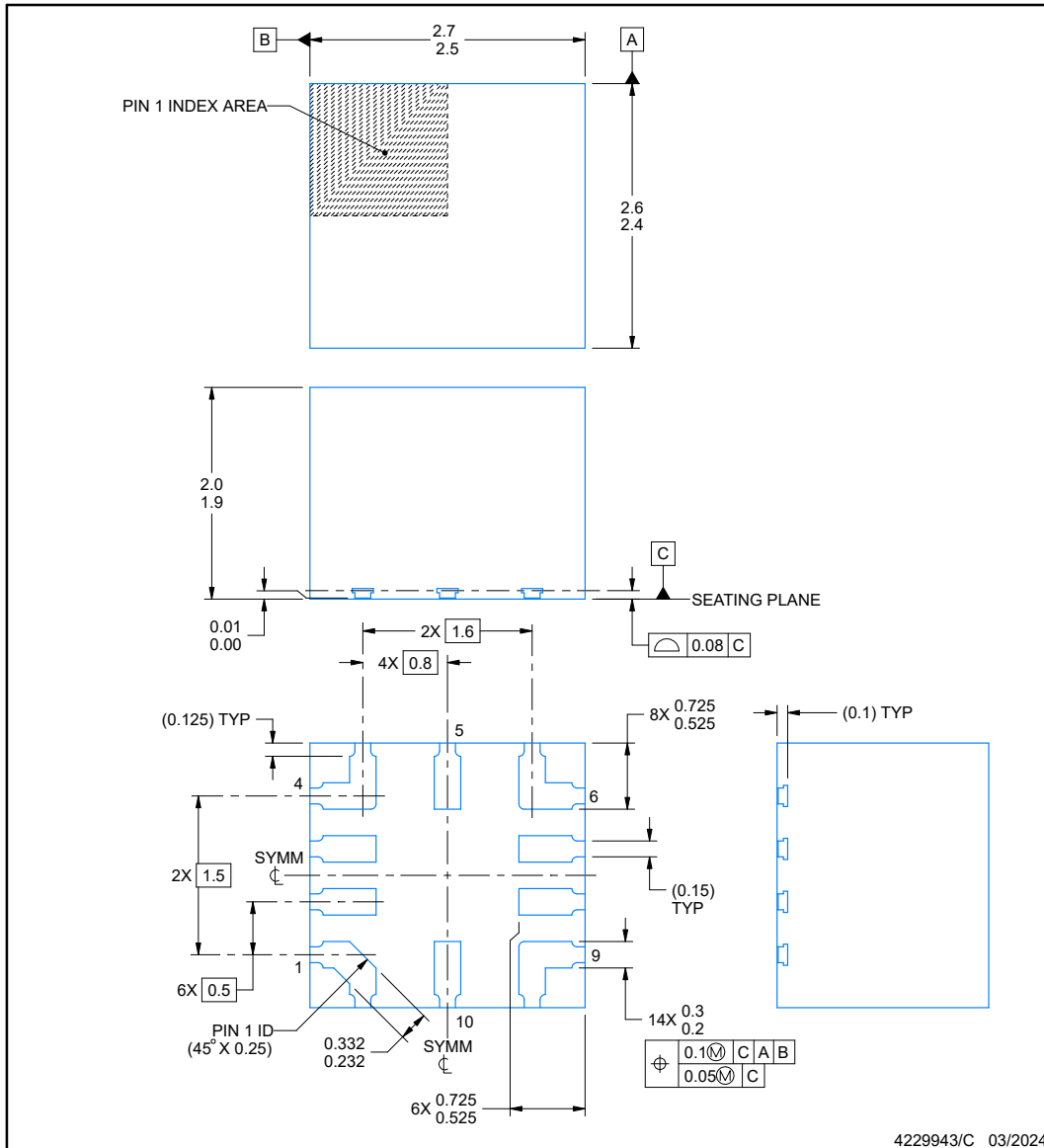
以下页面包含机械、封装和可订购信息。这些信息是指定器件可用的最新数据。数据如有变更，恕不另行通知，且不会对此文档进行修订。有关此数据表的浏览器版本，请查阅左侧的导航栏。

**VCB0010A**



**PACKAGE OUTLINE**  
**QFN-FCMOD - 2 mm max height**

PLASTIC QUAD FLATPACK - NO LEAD



**NOTES:**

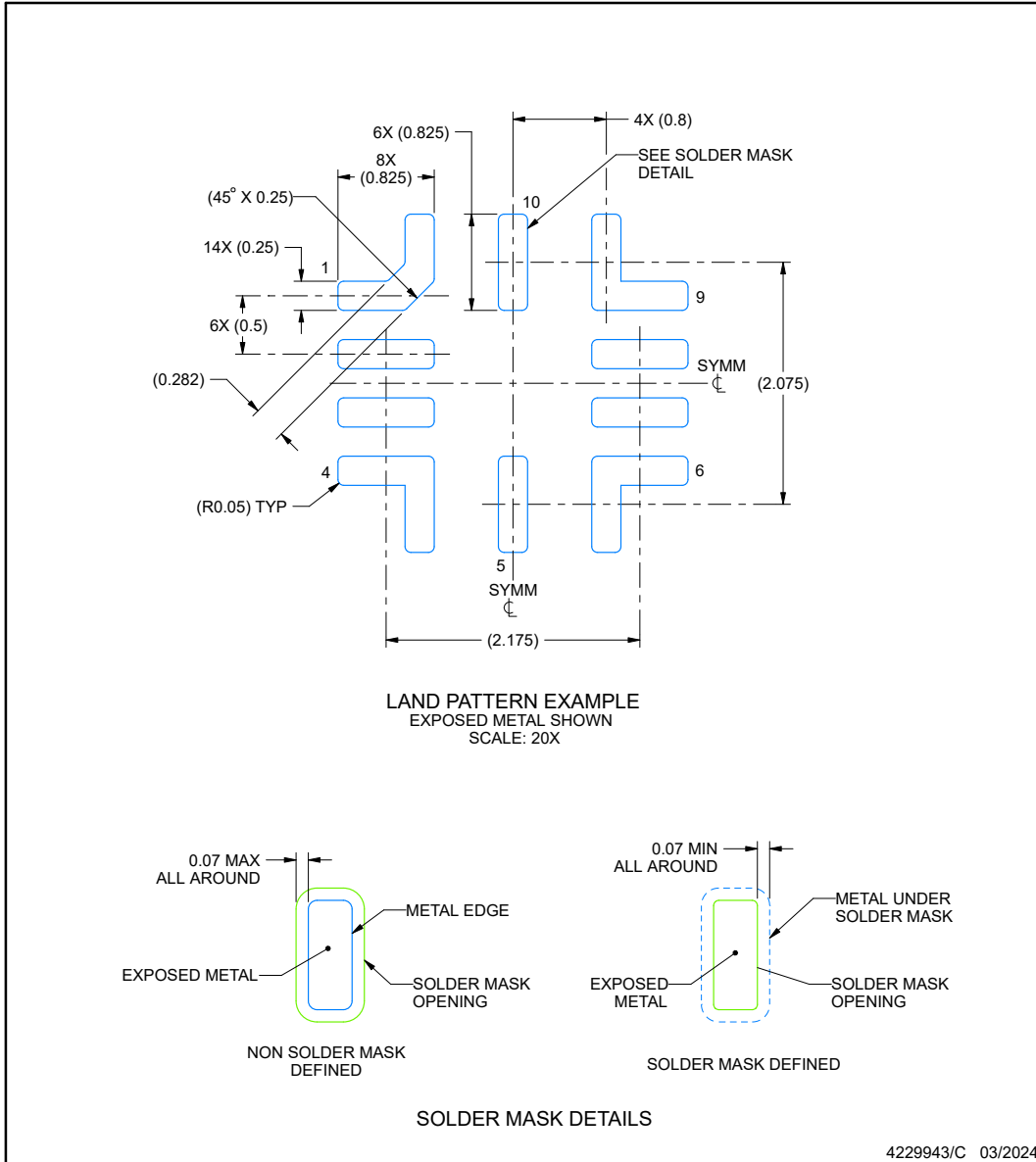
1. All linear dimensions are in millimeters. Any dimensions in parenthesis are for reference only. Dimensioning and tolerancing per ASME Y14.5M.
2. This drawing is subject to change without notice.

**EXAMPLE BOARD LAYOUT**

**VCB0010A**

**QFN-FCMOD - 2 mm max height**

PLASTIC QUAD FLATPACK - NO LEAD



NOTES: (continued)

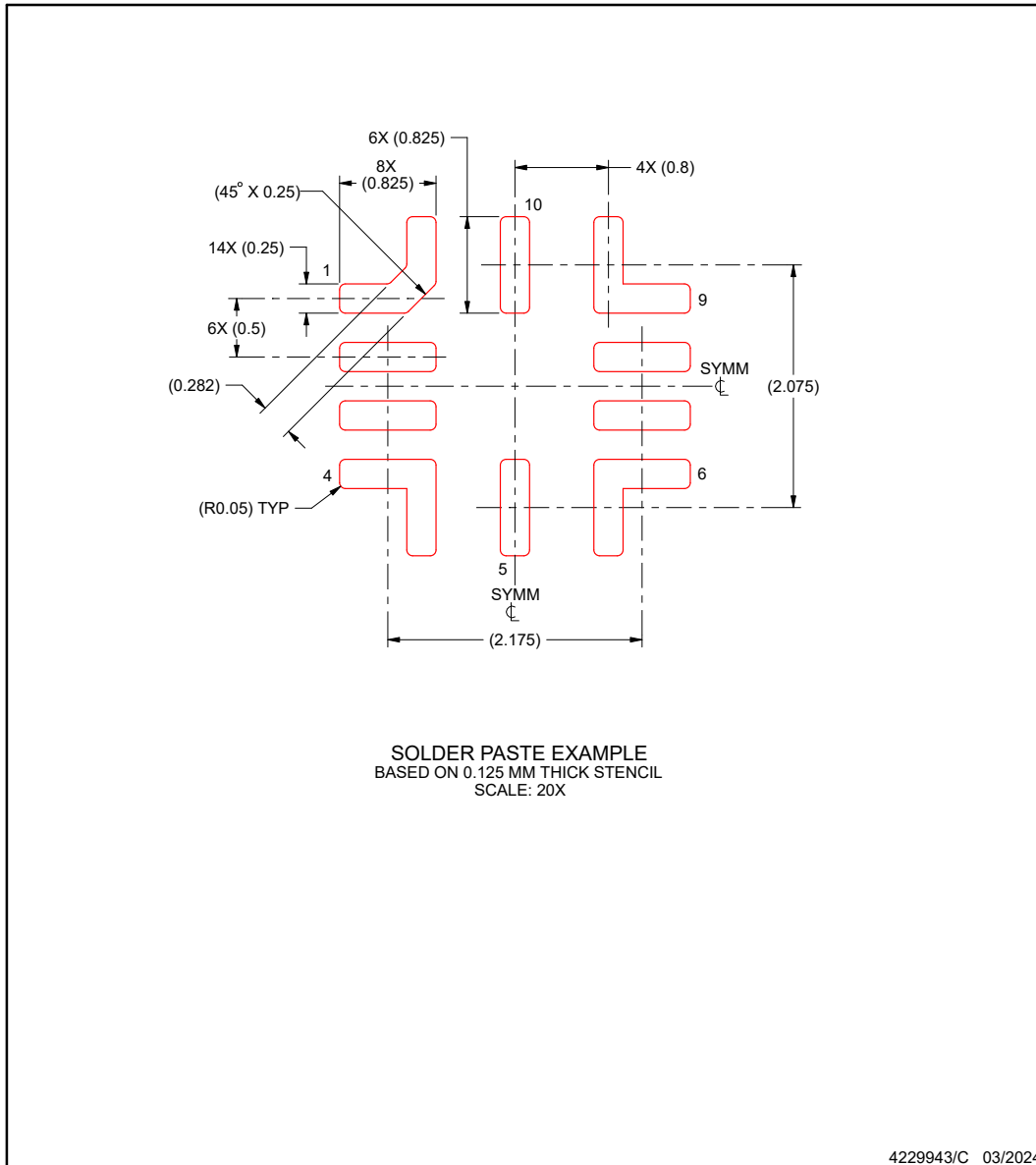
3. For more information, see Texas Instruments literature number SLUA271 ([www.ti.com/lit/slua271](http://www.ti.com/lit/slua271)).

**EXAMPLE STENCIL DESIGN**

**VCB0010A**

**QFN-FCMOD - 2 mm max height**

PLASTIC QUAD FLATPACK - NO LEAD



NOTES: (continued)

- 4. Laser cutting apertures with trapezoidal walls and rounded corners may offer better paste release. IPC-7525 may have alternate design recommendations.



**PACKAGING INFORMATION**

| Orderable Device | Status<br>(1) | Package Type | Package Drawing | Pins | Package Qty | Eco Plan<br>(2) | Lead finish/<br>Ball material<br>(6) | MSL Peak Temp<br>(3) | Op Temp (°C) | Device Marking<br>(4/5) | Samples                 |
|------------------|---------------|--------------|-----------------|------|-------------|-----------------|--------------------------------------|----------------------|--------------|-------------------------|-------------------------|
| TPSM828301ARDSR  | ACTIVE        | QFN-FCMOD    | RDS             | 9    | 3000        | RoHS & Green    | SN                                   | Level-3-260C-168 HR  | -40 to 125   | TM8301                  | <a href="#">Samples</a> |
| TPSM828302ARDSR  | ACTIVE        | QFN-FCMOD    | RDS             | 9    | 3000        | RoHS & Green    | SN                                   | Level-3-260C-168 HR  | -40 to 125   | TM8302                  | <a href="#">Samples</a> |
| TPSM828303ARDSR  | ACTIVE        | QFN-FCMOD    | RDS             | 9    | 3000        | RoHS & Green    | SN                                   | Level-3-260C-168 HR  | -40 to 125   | TM8303                  | <a href="#">Samples</a> |
| XPSM828303PVCBR  | ACTIVE        | QFN-FCMOD    | VCB             | 10   | 2500        | TBD             | Call TI                              | Call TI              | -40 to 125   |                         | <a href="#">Samples</a> |

(1) The marketing status values are defined as follows:

**ACTIVE:** Product device recommended for new designs.

**LIFEBUY:** TI has announced that the device will be discontinued, and a lifetime-buy period is in effect.

**NRND:** Not recommended for new designs. Device is in production to support existing customers, but TI does not recommend using this part in a new design.

**PREVIEW:** Device has been announced but is not in production. Samples may or may not be available.

**OBSOLETE:** TI has discontinued the production of the device.

(2) **RoHS:** TI defines "RoHS" to mean semiconductor products that are compliant with the current EU RoHS requirements for all 10 RoHS substances, including the requirement that RoHS substance do not exceed 0.1% by weight in homogeneous materials. Where designed to be soldered at high temperatures, "RoHS" products are suitable for use in specified lead-free processes. TI may reference these types of products as "Pb-Free".

**RoHS Exempt:** TI defines "RoHS Exempt" to mean products that contain lead but are compliant with EU RoHS pursuant to a specific EU RoHS exemption.

**Green:** TI defines "Green" to mean the content of Chlorine (Cl) and Bromine (Br) based flame retardants meet JS709B low halogen requirements of <=1000ppm threshold. Antimony trioxide based flame retardants must also meet the <=1000ppm threshold requirement.

(3) MSL, Peak Temp. - The Moisture Sensitivity Level rating according to the JEDEC industry standard classifications, and peak solder temperature.

(4) There may be additional marking, which relates to the logo, the lot trace code information, or the environmental category on the device.

(5) Multiple Device Markings will be inside parentheses. Only one Device Marking contained in parentheses and separated by a "-" will appear on a device. If a line is indented then it is a continuation of the previous line and the two combined represent the entire Device Marking for that device.

(6) Lead finish/Ball material - Orderable Devices may have multiple material finish options. Finish options are separated by a vertical ruled line. Lead finish/Ball material values may wrap to two lines if the finish value exceeds the maximum column width.

**Important Information and Disclaimer:**The information provided on this page represents TI's knowledge and belief as of the date that it is provided. TI bases its knowledge and belief on information provided by third parties, and makes no representation or warranty as to the accuracy of such information. Efforts are underway to better integrate information from third parties. TI has taken and

continues to take reasonable steps to provide representative and accurate information but may not have conducted destructive testing or chemical analysis on incoming materials and chemicals. TI and TI suppliers consider certain information to be proprietary, and thus CAS numbers and other limited information may not be available for release.

In no event shall TI's liability arising out of such information exceed the total purchase price of the TI part(s) at issue in this document sold by TI to Customer on an annual basis.

**TAPE AND REEL INFORMATION**

**QUADRANT ASSIGNMENTS FOR PIN 1 ORIENTATION IN TAPE**


\*All dimensions are nominal

| Device          | Package Type | Package Drawing | Pins | SPQ  | Reel Diameter (mm) | Reel Width W1 (mm) | A0 (mm) | B0 (mm) | K0 (mm) | P1 (mm) | W (mm) | Pin1 Quadrant |
|-----------------|--------------|-----------------|------|------|--------------------|--------------------|---------|---------|---------|---------|--------|---------------|
| TPSM828301ARDSR | QFN-FCMOD    | RDS             | 9    | 3000 | 330.0              | 17.6               | 3.3     | 3.3     | 2.25    | 8.0     | 12.0   | Q2            |
| TPSM828302ARDSR | QFN-FCMOD    | RDS             | 9    | 3000 | 330.0              | 17.6               | 3.3     | 3.3     | 2.25    | 8.0     | 12.0   | Q2            |
| TPSM828303ARDSR | QFN-FCMOD    | RDS             | 9    | 3000 | 330.0              | 17.6               | 3.3     | 3.3     | 2.25    | 8.0     | 12.0   | Q2            |

**TAPE AND REEL BOX DIMENSIONS**


\*All dimensions are nominal

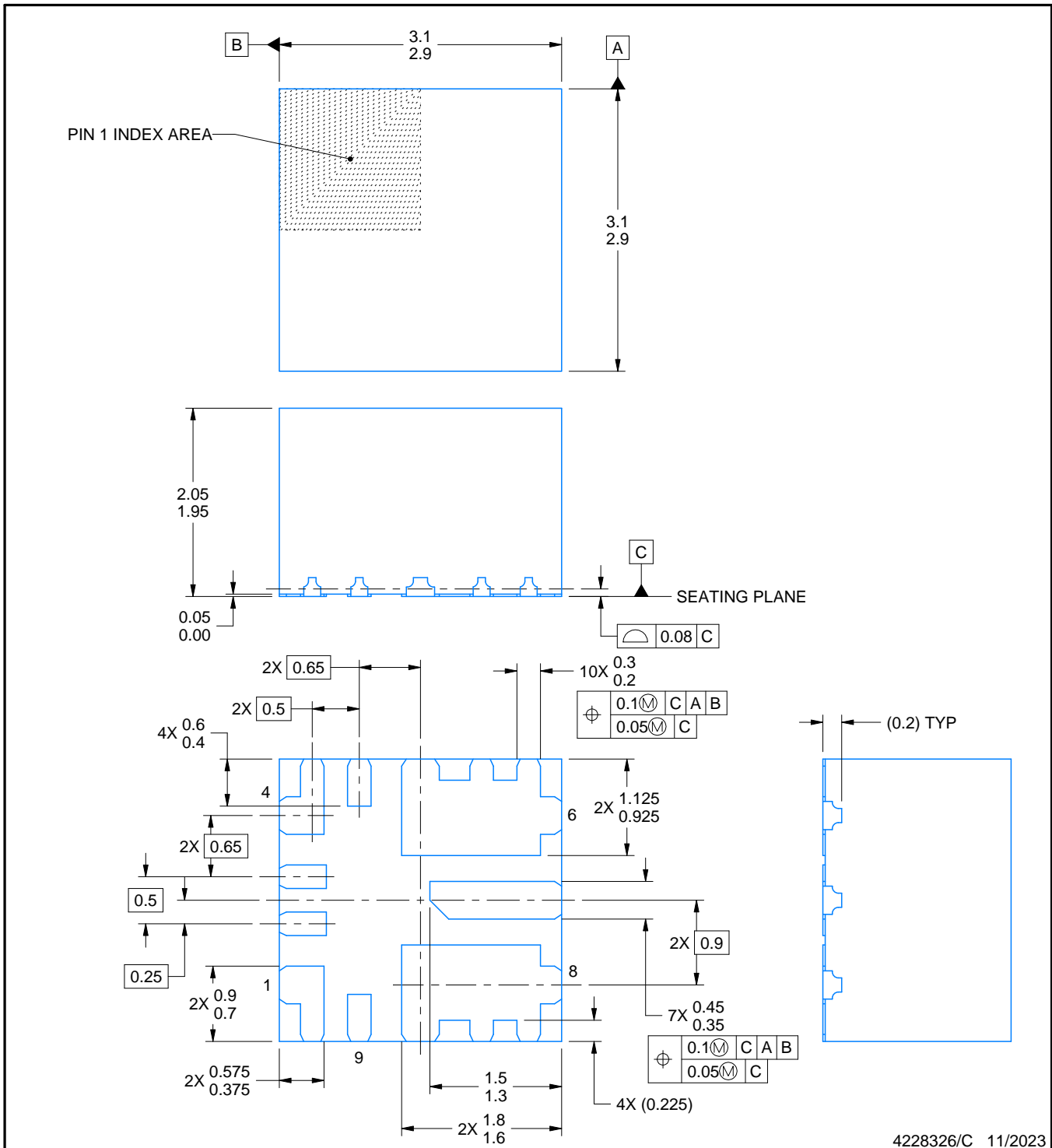
| Device          | Package Type | Package Drawing | Pins | SPQ  | Length (mm) | Width (mm) | Height (mm) |
|-----------------|--------------|-----------------|------|------|-------------|------------|-------------|
| TPSM828301ARDSR | QFN-FCMOD    | RDS             | 9    | 3000 | 336.0       | 336.0      | 48.0        |
| TPSM828302ARDSR | QFN-FCMOD    | RDS             | 9    | 3000 | 336.0       | 336.0      | 48.0        |
| TPSM828303ARDSR | QFN-FCMOD    | RDS             | 9    | 3000 | 336.0       | 336.0      | 48.0        |

# PACKAGE OUTLINE

RDS0009A

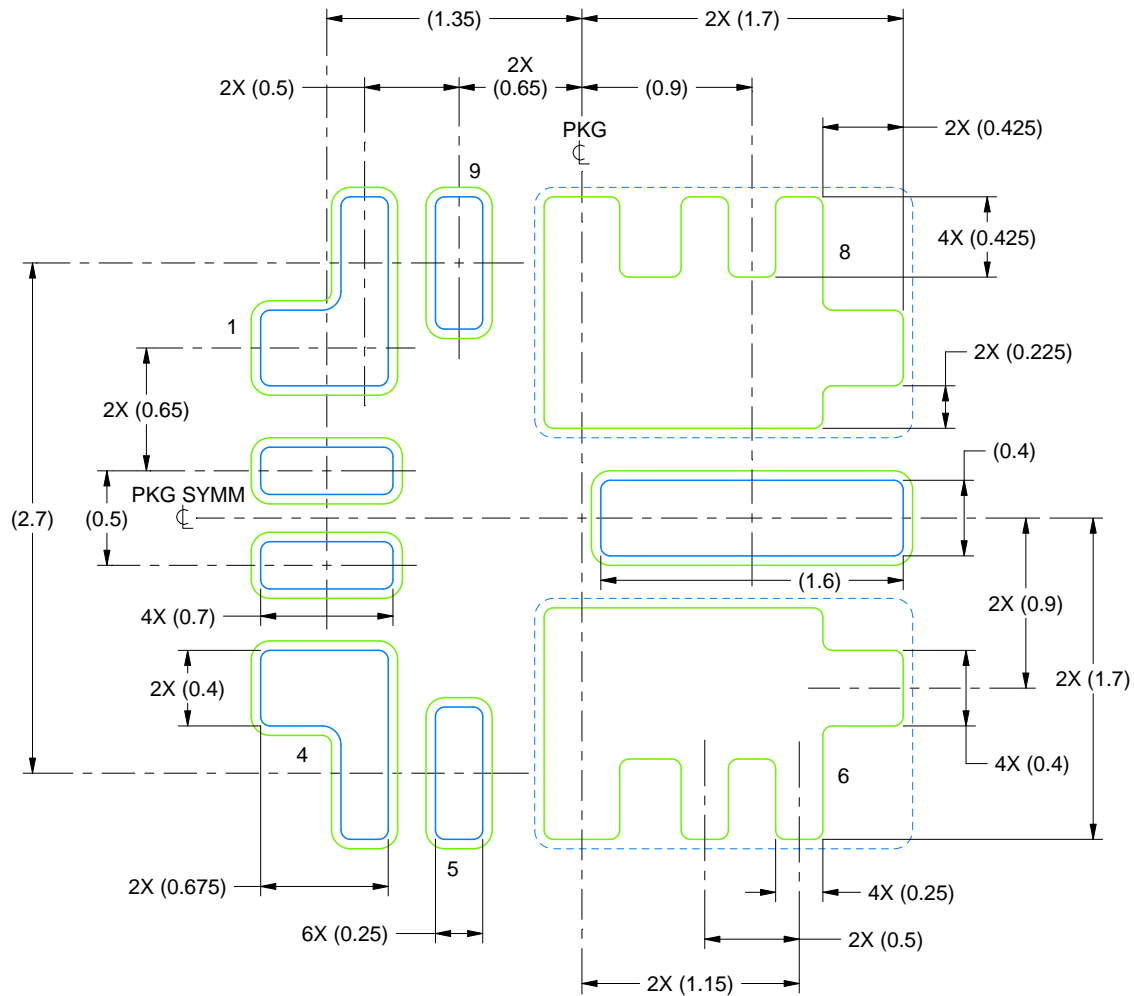
QFN-FCMOD - 2.05 mm max height

QUAD FLATPACK - NO LEAD

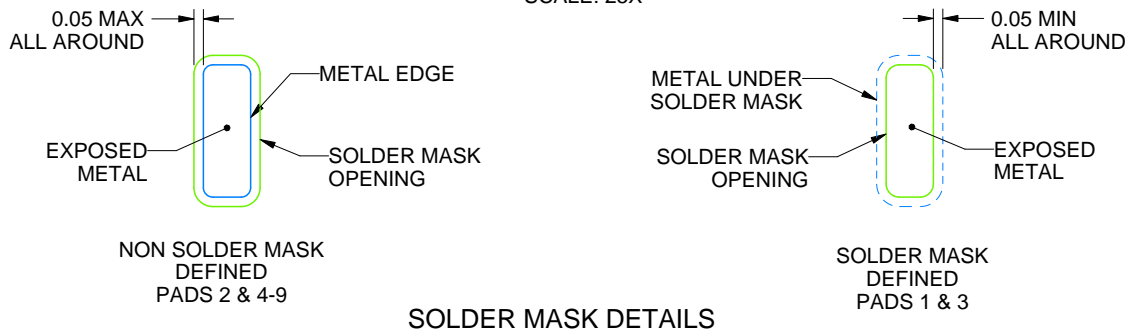


NOTES:

1. All linear dimensions are in millimeters. Any dimensions in parenthesis are for reference only. Dimensioning and tolerancing per ASME Y14.5M.
2. This drawing is subject to change without notice.



LAND PATTERN EXAMPLE  
SCALE: 25X



SOLDER MASK DETAILS

4228326/C 11/2023

NOTES: (continued)

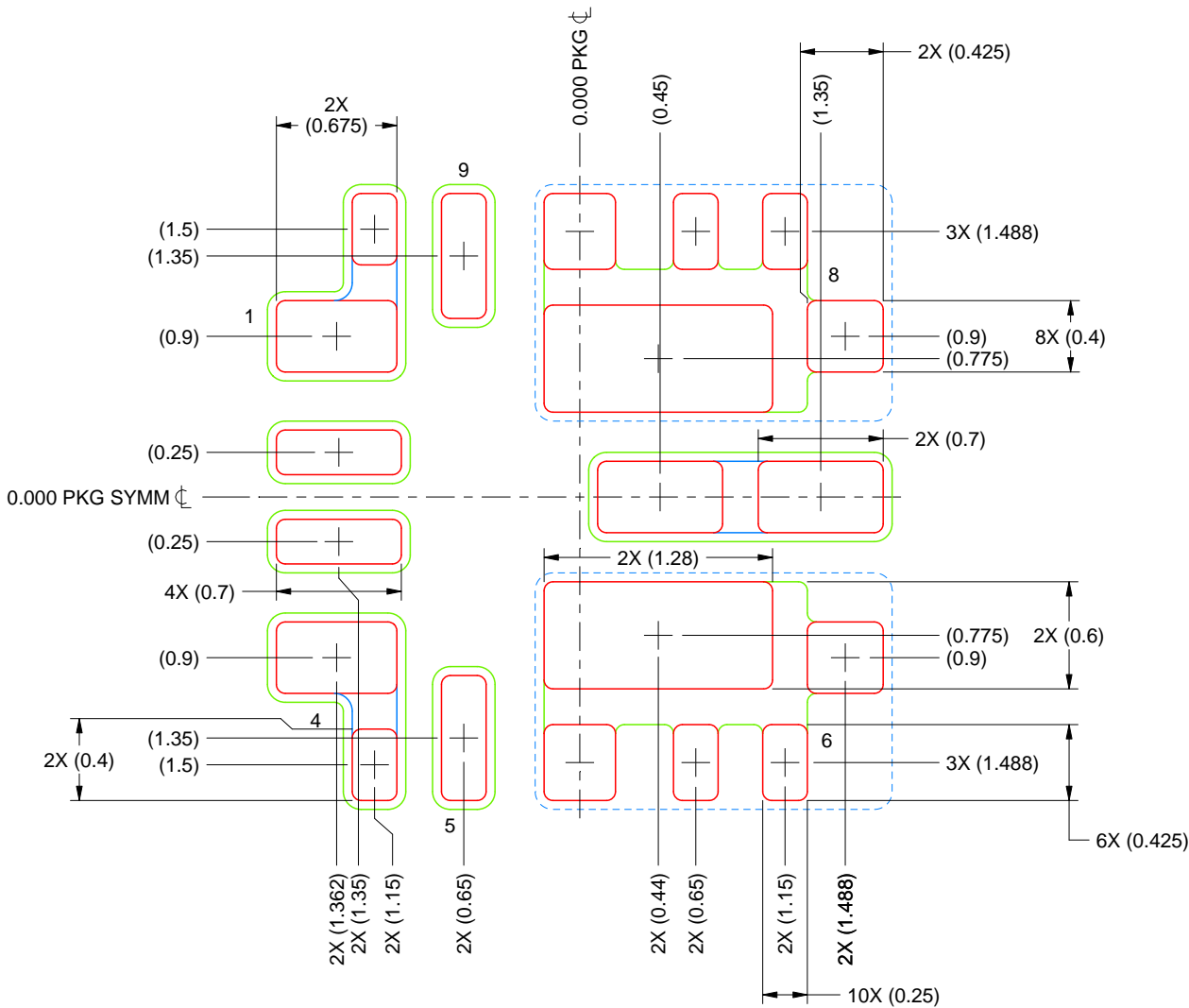
4. This package is designed to be soldered to a thermal pad on the board. For more information, see Texas Instruments literature number SLUA271 ([www.ti.com/lit/sluea271](http://www.ti.com/lit/sluea271)).
5. Vias are optional depending on application, refer to device data sheet. If any vias are implemented, refer to their locations shown on this view. It is recommended that vias under paste be filled, plugged or tented.

# EXAMPLE STENCIL DESIGN

RDS0009A

QFN-FCMOD - 2.05 mm max height

QUAD FLATPACK - NO LEAD



SOLDER PASTE EXAMPLE  
BASED ON 0.125 mm THICK STENCIL  
SCALE: 25X

PRINTED SOLDER COVERAGE BY AREA UNDER PACKAGE  
PADS 1 & 3: 76%  
PADS 2, 5 & 8: 88%

4228326/C 11/2023

NOTES: (continued)

6. Laser cutting apertures with trapezoidal walls and rounded corners may offer better paste release. IPC-7525 may have alternate design recommendations.

## 重要通知和免责声明

TI“按原样”提供技术和可靠性数据（包括数据表）、设计资源（包括参考设计）、应用或其他设计建议、网络工具、安全信息和其他资源，不保证没有瑕疵且不做任何明示或暗示的担保，包括但不限于对适销性、某特定用途方面的适用性或不侵犯任何第三方知识产权的暗示担保。

这些资源可供使用 TI 产品进行设计的熟练开发人员使用。您将自行承担以下全部责任：(1) 针对您的应用选择合适的 TI 产品，(2) 设计、验证并测试您的应用，(3) 确保您的应用满足相应标准以及任何其他功能安全、信息安全、监管或其他要求。

这些资源如有变更，恕不另行通知。TI 授权您仅可将这些资源用于研发本资源所述的 TI 产品的相关应用。严禁以其他方式对这些资源进行复制或展示。您无权使用任何其他 TI 知识产权或任何第三方知识产权。您应全额赔偿因在这些资源的使用中对 TI 及其代表造成的任何索赔、损害、成本、损失和债务，TI 对此概不负责。

TI 提供的产品受 [TI 的销售条款](#) 或 [ti.com](#) 上其他适用条款/TI 产品随附的其他适用条款的约束。TI 提供这些资源并不会扩展或以其他方式更改 TI 针对 TI 产品发布的适用的担保或担保免责声明。

TI 反对并拒绝您可能提出的任何其他或不同的条款。

邮寄地址：Texas Instruments, Post Office Box 655303, Dallas, Texas 75265  
版权所有 © 2025，德州仪器 (TI) 公司